

621.384.21076-3)

К 65.

МІНІСТЕРСТВО ОСВІТИ УКРАЇНИ
СУМСЬКИЙ ДЕРЖАВНИЙ УНІВЕРСИТЕТ

КОНСПЕКТ ЛЕКЦІЙ

з курсу

„Напівавтоматичні прилади“

частина друга

для студентів спеціальностей
20.05. 21.01 усіх форм навчання

Ч93



Суми СумДУ 1994

МІНІСТЕРСТВО ОСВІТИ УКРАЇНИ
СУМський державний університет

КОНСПЕКТ ЛЕКІЙ
З КУРСУ
"НАПІВПРОВІДНИКОВІ ПРИЛАДИ"
ЧАСТИНА ДРУГА
для студентів спеціальностей
20.05, 21.01 усіх форм навчання

Затверджено
на засіданні кафедри
як конспект лекій
з дистилляції
"Напівпровідникові прилади"
спеціальностей 20.05, 21.01.
Протокол № 17 від 11.05.94.

Бібліотека
Сумського фінансово-економічного інституту

Укладачі: О.М.Кобяков
О.А.Борисенко
Кафедра промислової електроніки

3. БІПОЛЯРНІ ТРАНЗИСТОРИ

3.1. СУДОРА ТА ПРИНІП ДІЇ БІПОЛЯРНИХ ТРАНЗИСТОРІВ

3.1.1. Загальні відомості про біполярні транзистори

Біполярний транзистор /БТ/ - це електроперетворювальний напівпровідниковий пристрій з одним, двома або кількома $P-n$ -переходами, який має три або більше виводів і здатність підсилювати потужність. Робота БТ ґрунтується на тому, що між його переходами існує взаємодія: змінюючи струм одного з переходів, можна управити зміною струму іншого переходу /струмом через пристрій/. Малі розміри й маса, здатність працювати при малих напругах, висока механічна міцність, довговічність і зручність мікромініатуризації зумовили широке використання цих пристріїв у електроніці протягом останніх десятиліть.

Класифікація транзисторів

1. За характером перенесення носіїв заряду розрізняють біполярні /БТ/ та польові /ПТ/ транзистори. БТ - це здебільшого двоперехідні пристрії, у процесі струмопроходження яких беруть участь носії обох знаків: і основні, і неосновні. У польових транзисторів струм створюється рухом носіїв одного знаку.

2. За кількістю переходів розрізняють одноперехідні, дво-перехідні та багаторекурентні транзистори. Серед БТ найбільш поширені транзистори з трьома виводами.

3. За типом провідності /наслідковістю розміщення напівпровідникової областей/ розрізняють $P-n-P$ - та $n-p-n$ -транзистори.

4. За характером розподілу атомів домішок та руху носіїв у базі розрізняють дрейфові та бездрейфові БТ.

5. За величиною допустимої потужності, що розсігається на електродах пристрію, транзистори діляться на малопотужні /до 0,3 Вт/, середньої потужності /від 0,3 до 1,5 Вт/ та потужні /більше 1,5 Вт/.

6. За значенням граничної частоти розрізняють БТ низькочастотні /до 3 МГц/, середньої частоти /від 3 до 30 МГц/ та високочастотні /більше 30 МГц/.

Система позначення БТ

Згідно з ГОСТ 10862-72 система позначення транзисторів



напічує 6 елементів:

1-й - буква або цифра, що вказуєть на матеріал виготовлення приладу /Г/1/ - германій або його сполуки, К/2/ - кремній або його сполука/;

2-й - буква, що визначає підклас приладу /Т - біополярний, П - польовий транзистор/;

3-й - цифре від 1 до 9, яка визначає призначення транзистора згідно з табл. 3.1;

Таблиця 3.1

Транзистори	Малої потужності	Середньої потужності	Потужні
Низької частоти	1	4	7
Середньої частоти	2	5	8
Високої частоти	3	6	9

4-й та 5-й - цифри від 01 до 99, які визначають порядковий номер розробки транзистора;

6-й - літери від А до Я, що вказують на параметричну групу технологічного типу.

Позначення площинних ЕТ, що розроблялись до 1964 р., але мають застосування й тепер, складається з двох або трьох елементів:

1-й - буква "П" /або "МП" - для ЕТ з уніфікованим корпусом/;

2-й - число /номер/, що визначає призначення транзистора згідно з табл. 3.2;

3-й - буква, що вказує на різновид транзистора.

Приклади позначень транзисторів: ГТ 605А - германійовий біополярний транзистор середньої потужності високої частоти широкого джитку, номер розробки 05, група А; 2Т 144Д - кремнійовий біополярний транзистор малої потужності низької частоти для пристроїв спеціального призначення, номер розробки 44, група А.

Таблиця 3.2

Транзистори		Германійові	Кремнійові
Низької частоти	Малопотужні	від 1 до 100	від 101 до 200
	Потужні	від 201 до 300	від 301 до 400
Високої частоти	Малопотужні	від 401 до 500	від 501 до 600
	Потужні	від 601 до 700	від 701 до 800

Будова сплавних транзисторів

Транзистор - це монокристал МП з двома $p-n$ - переходами. На рис. 3.1 схематично показано будову ЕТ $p-n-p$ -типу та $n-p-n$ -типу та їх умовне графічне позначення.

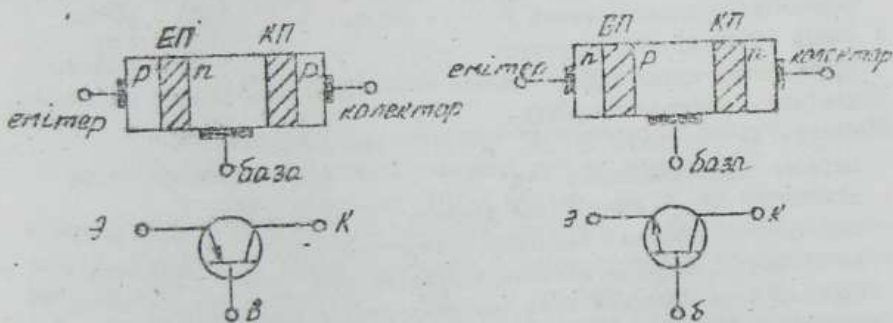


Рис. 3.1. Умовне схематичне і графічне позначення ЕТ

Принцип дії транзисторів одинаковий для обох типів провідності. Відмінна полягає лише в полярності джерел зовнішніх напруг і в напрямі протікання струмів через електроди. Тому надалі будемо розглядати тільки транзистори $p-n-p$ - типу, та жкоже всі висновки щодо них справедливими і для транзисторів $n-p-n$ -типу.

Середня область ЕТ називається базою. Р-область, що відділена від бази $p-n$ - переходом з меншою площею, називається емітером, а сам переход називається емітерним переходом /ЕП/. Analogічно до цього, крайня справа р-область називається колектором, а переход між ним та базою - колекторним переходом.

АПІ.

Спосіб виготовлення сплавних малопотужних БТ низької частоти полягає у наступному. До пластиини германію n - типу з малим питомим опором ($\rho = 1-1,5 \Omega \text{ см}$) з обох боків притискають два шматочки індію. Потім пластиину поміщають у піч, в якій створюється вакуум до $0,013 \text{ Па}$, і підвищують температуру. Індій розплавляється, розчиняється з сусідніми шарами германію і під дією сил поверхневого натягу набуває форми сферичного сегмента (рис. 3.2). Плата розплавленого індію визначає активну площину $p-n$ - переходу. Після цього здійснюється охолодження всієї конструкції з постійною швидкістю зміни температури. Внаслідок цього відбувається рекристалізація областей. Шари германію, розчинені з індієм, мають у своїй кристалічній структурі тривалентні атоми акцепторних домішок і набувають провідності p - типу. Ці p - області відокремлюються від пластиини n - типу двома різкими $p-n$ - переходами. Менша з акцепторних областей звичайно використовується як емітер, більша - як колектор. Середня область з провідністю n - типу виконує функцію бази. Частина бази, що знаходитьсь безпосередньо між емітером та колектором, через яку проходять носії, називається активною. До областей емітера та колектора припаються нікелеві дротики, які утворють незвичайні контакти з індієм і виконують роль виводів. Гнучкий вивід бази, присягній до пластиини германію, з'єднується з герметизованим металевим корпусом. Виводи емітера і колектора зварюють з гнучкими металевими стержнями, які ізольовані від корпусу за допомогою скляних вставок.

При виготовленні транзистора здійснюються умови $N_{Ae} \gg N_{A6}$, $N_{A6} \gg N_{Ab}$, тобто враховується, що концентрації дірок в областях емітера та колектора значно перевищували концентрацію

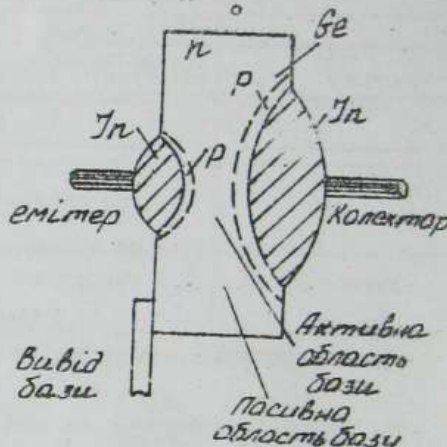


Рис. 3.2. Будова сплавного БТ.

електронів у базі. Крім того, ширина активної області бази має бути меншою від дифузійної довжини дірок: $w \ll L_p$

3.1.2. Способи включення й режими роботи біполярних транзисторів

При включенняні БТ в електронну схему один його електрод вважають входним, другий - вихідним, а третій, відносно якого розмінюють вхідну і вихідну напруги, - спільним. Розрізняють наступні схеми включенняні БТ: схема зі спільною базою ССБ /рис.3.3, а/, схема зі спільним емітером ССЕ /рис. 3.3,б/ і схема зі спільним колектором ССК /рис. 3.3,г/.

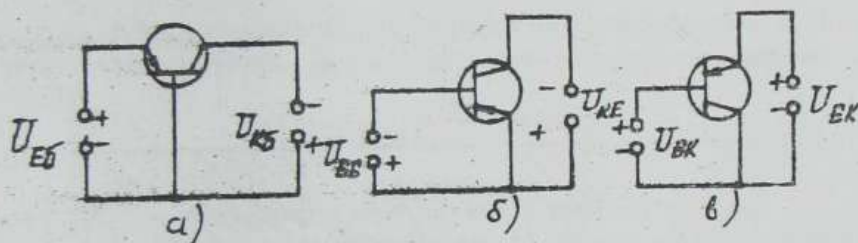


Рис. 3.3. Схеми включення БТ

В залежності від величини та полярності напруг на електродах приладу розрізняють наступні режими роботи БТ.

1. Режим відсічки /РВ/ - обидва $P-n$ - переходи включуються в зворотному напрямі. Запірні шари переходів розширяються, іхні опори зростають, і через переходи протікають зворотні струми колектора I_{KB} і емітера I_{EB} . Це струми неосновних носіїв емітерної та колекторної областей - електронів, і оскільки концентрація цих носіїв невелика, струми ці незначні. Внаслідок різниці площ переходів $\Pi_{kp} > \Pi_{ep}$ для спливних БТ $I_{KB} > I_{EB}$. БТ закритий, вихідний струм некерований.

2. Режим насилення /РН/. ЕП і НП включуються в прямому напрямі. Дірки інжектують в базу з емітера і колектора, створюючи великі струми насилення I_{Kmas} та I_{Emas} , що визначається рухом основних носіїв р-областей. В базі відбувається накопичення неосновних нерівноважних носіїв, опір бази і всього БТ різко знижується. Транзистор у цьому режимі вважається відкритим і наси-

ченім, вихідний струм некерований.

3. Активний режим /АР/. ЕП включено в пряму напрямі, КП - у зворотному. Полярність напруг на електродах БТ, зображеніх на рис. 3.3, тідповідає цьому режиму. В колі емітера транзистора протікає струм I_E за рахунок інжекції дірок з емітера в базу, а колекторний струм I_K залежить від струму емітерного. Це основний режим роботи БТ як підсилювального приладу, коли вихідним струмом можна управляти за допомогою зміни вхідного струму.

4. Інверсний режим. Це також режим керованого вихідного струму, однак ЕП включено в зворотному напрямі, КП - прямо.

3.1.3. Принцип дії біполярного транзистора в активному режимі

Принцип дії БТ розглянемо на прикладі схеми зі спільною базою /ССБ/, яку показано на рис. 3.4.

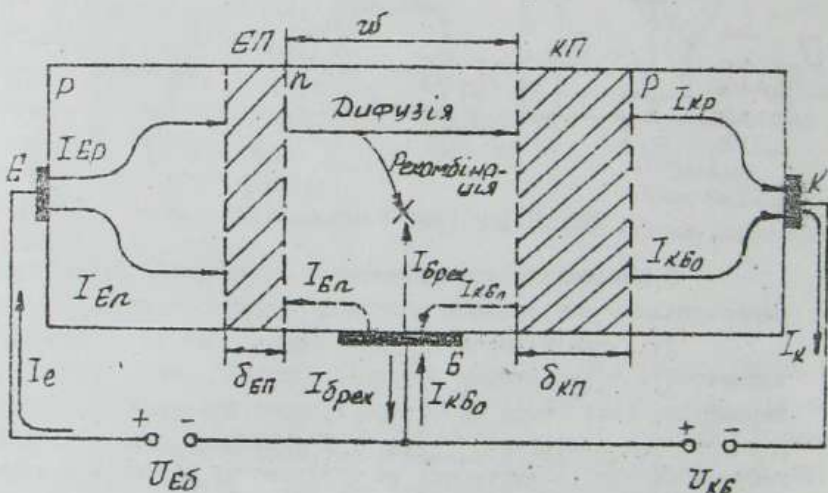


Рис. 3.4. Струми в БТ, що працює в активному режимі

На рисунку сутінчими стрілками показано діркові струми або їх умовно прийняти /від "+" до "-"/ напрями електронних струмів в р-областях, пунктирними стрілками - електронні струми в базі.

При полярності напруги U_{EB} , що показана на рис. 3.4,

дірки з емітера інжектують у базу, а електрони - з бази в емітер, оскільки ЕІ включено в прямому напрямі. Через ЕІ протікають емітерні струми: дірковий I_{Ep} та електронний I_{En} . Отже, в зовнішньому колі протікає емітерний струм

$$I_E = I_{Ep} + I_{En} \approx I_{EB_0} \left(e^{\frac{U_{EB}}{V_T}} - 1 \right). \quad /3.1/$$

Співвідношення між складовими струму I_E опінюється коефіцієнтом інжекції

$$\gamma = \frac{I_{Ep}}{I_E} = \frac{I_{Ep}}{I_{Ep} + I_{En}} = \frac{1}{1 + I_{En}/I_{Ep}}. \quad /3.2/$$

Внаслідок інжекції концентрація дірок у базі біля ЕІ підвищується до величини P_{BE} , яку можна визначити за формулою /1.19/

$$P_{BE} = P_{n_0} e^{\frac{U_{EB}}{V_T}}, \quad /3.3/$$

де P_{n_0} - концентрація дірок у базі в стані рівноваги.

Розглянемо розподіл концентрації неосновних носіїв /дірок/ у базі в цьому режимі. Протяжність бази позначимо координатою x , тоді границя ЕІ відповідає випадку $x=0$, а границя КП - $x=w$. При $x=0$ концентрація дірок визначається за формулою /3.3/. Концентрацію дірок у базі біля КП $/x=w/$ знаходить за виразом

$$P_{Bk} = P_{n_0} e^{\frac{U_{kB}}{V_T}}. \quad /3.4/$$

Розподіл неосновних носіїв у базі транзистора в усталеному режимі визначається за допомогою рівняння неперервності [1]

$$\frac{\partial^2 (P_n - P_{n_0})}{\partial x^2} - \frac{P_n - P_{n_0}}{L_p^2} = 0, \quad /3.5/$$

рішення якого за граничних умов /3.3/ та /3.4/ при $w \ll L_p$ має вигляд

$$\frac{dP_n}{dx} = - \frac{P_{BE} - P_{Bk}}{w}. \quad /3.6/$$

З формулі /3.6/ випливає, що градієнт концентрації неосновних носіїв у базі з величиною постійною відносно координати x , тобто розподіл концентрації дірок в базі має лінійний характер /рис. 3.5/. З цього рисунка та з формул /3.3/ і /3.6/ видно, що градієнт

концентрації дірок змінюється при зміні напруги U_{EB} . Під дією цього градієнта дірки дифундуєть через базу від емітера до колектора. Частина дірок, не досягши КП, рекомбінує в області бази з електронами. На місце електронів, що рекомбінували, від джерела

U_{EB} надходить нові електрони, створюючи рекомбінаційну складору струму бази I_{brk} .

Дірки, що досягли КП, створюють колекторний дірковий струм I_{kp} , причому внаслідок рекомбінації в базі

$I_{kp} < I_{brk}$. Процес перенесення неосновних носіїв через базу під дією градієнта концентрації характеризується коефіцієнтом переносу

$$\xi = \frac{I_{kp}}{I_{brk}} \approx 1 - \frac{\omega^2}{2L_p^2}, \quad /3.7/$$

який оцінює міру зменшення колекторного діркового струму I_{kp} відносно емітерного струму I_{brk} .

Дірки, досягши КП, якій включено в зворотному напрямі, потрапляють у його прискорююче поле і перекидаються /екстрагуються/ в р-області колектора. Екстракція дірок може супроводжуватись ударною іонізацією атомів НП і, як наслідок, лавинним множенням носіїв /при великій зворотній напрузі U_{Kb} /. Дірки, що потрапили в колектор внаслідок екстракції /при малих U_{Kb} / або ударної іонізації, порушують електричну нейтральність р-області, і це викликає прилив електронів від джерела U_{Kb} , тобто протікання в зовнішньому колі колектора струму I'_K . Процес помноження носіїв у КП січиться коефіцієнтом помноження колекторного струму

$$M = \frac{I'_K}{I_{kp}} \quad . \quad /3.8/$$

Важливо зазначити, що за нормальнюю роботи БТ $M=1$, і струм $I'_K = I_{kp}$ називається керованим колекторним струмом I_{Kper} .

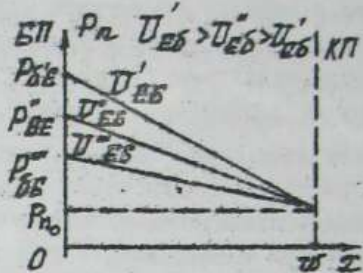


Рис. 3.5. Розподіл концентрації дірок у базі ЕТ, правильного в активному режимі

Ця назва зумовлена тим, що чим більше дірок інжектуються емітером у базу, тим іх більша кількість екстрагують до колектора. Отже, струм $I_{K\text{ker}} = I'_k = I_{kp}$ пропорційний до емітерного струму

$$I_{K\text{ker}} = h_{21B} I_E, \quad /3.9/$$

де h_{21B} - статичний коефіцієнт передачі струму емітера. Оскільки $I_{K\text{ker}} = I_{kp} < I_{EP}$, то $h_{21B} < 1$.

З формулі /3.9/ випливає найважливіша властивість БТ: управління вихідним струмом можливе при зміні струму входного. В формулі /3.9/ вважається, що $I_E \approx I_{EP}$, тому що електронний струм I_{en} малий внаслідок слабкої легованості бази.

При деяких напругах на КП $U_{KB} \geq U_{KB\text{ проб}}$, коли в переході виникає явище пробою, коефіцієнт M зростає $M > 1$, і струм $I'_k > I_{kp}$ буде некерованим.

Через включений в зворотному напрямі КП протікає дрейфовий струм неосновних носіїв, який називається зворотним струмом колектора I_{Kbo} . Цей струм протікає від "+" джерела U_{KB} через базу, КП, колектор до "-" U_{KB} . Оскільки напрям цього струму збігається з напрямом керованого колекторного струму $I_{K\text{ker}}$, то можна записати для повного колекторного струму БТ в схемі зі спільною базою в активному режимі

$$I_K = I_{K\text{ker}} + I_{K\text{некер}} = h_{21B} I_E + I_{Kbo}, \quad /3.10/$$

де $I_{K\text{некер}} = I_{Kbo}$ - некерована складова колекторного струму в ССБ.

З рис. 2.4 випливає, що загальний струм бази дорівнює

$$I_B = I_{B\text{рек}} + I_{En} - I_{Kbo} \approx I_{B\text{рек}} - I_{Kbo}. \quad /3.11/$$

Струм емітера для транзистора можна знайти, врахувавши, що він має складові $I_{EP} = h_{21B} I_E + I_{B\text{рек}}$ та I_{En} . Додаючи і віднявши величину I_{Kbo} , одержимо

$$I_E = h_{21B} I_E + I_{B\text{рек}} + I_{En} - I_{Kbo}. \quad /3.12/$$

Врахувавши формули /3.10/ та /3.11/, з /3.12/ зрешті одержимо вираз першого закону Кірхгофа для струмів електродів БТ у довільній схемі включення:

$$I_E = I_B + I_K. \quad /3.13/$$

З рівнянь /3.13/ та /3.10/ випливає

$$I_B = I_E - I_K = (1 - h_{21B})I_E - I_{KB_0}. \quad /3.14/$$

Порівнюючи формули /3.11/ та /3.14/, можна зробити висновок, що рекомбінаційна складова струму бази

$$I_{Brek} = (1 - h_{21B})I_E. \quad /3.15/$$

В активному режимі $(1 - h_{21B})I_E > I_{KB_0}$, тобто на прям базового струму визначається рекомбінаційною складовою.

3.1.4. Вплив конструкції та режиму роботи транзистора на h_{21B}

З формулі /3.9/ при $I_{Kep} = I'_K$ випливає, що

$$h_{21B} = \frac{I'_K}{I_E} = \frac{I'_K}{I_{kp}} \cdot \frac{I_{kp}}{I_{ep}} \cdot \frac{I_{ep}}{I_E} = M\xi\gamma. \quad /3.16/$$

Оскільки у нормальному режимі роботи транзистора $M=1$, то статичний коефіцієнт передачі струму емітера

$$h_{21B} = \gamma\xi. \quad /3.17/$$

Для поліпшення керувальних властивостей БТ потрібно збільшувати h_{21B} і, отже, його спів множники γ та ξ .

Ефективність емітера /коефіцієнт інжекції γ / можна підвищити, як це випливає з /3.2/, збільшенням I_{ep} і зменшенням I_{en} . Це досягається виконанням умови $N_{AE} \gg N_{db}$, про що говорилось у п.3.1.1. При цьому діркова складова емітерного струму I_{ep} значно перевищує електронну I_{en} , і коефіцієнт інжекції досягає величини $\gamma = 0,995$.

З метою збільшення коефіцієнта переносу ξ треба згідно з формуллою /3.7/ зменшити активну ширину бази w або збільшити дифузійну довжину L_p . Величину L_p можна збільшити за рахунок зменшення ймовірності рекомбінації дірок, що можна здійснити при слабкому легуванні бази донорними домішками / N_{db} мала/. Зменшення w до величини $w = 0,1L_p$ дозволяє отримати коефіцієнт переносу $\xi = 0,995$. На коефіцієнт ξ впливає також співвідношення площ переходів P_{kp}/P_{ep} . Чим це співвідношення більше, тим менше дірок розсіюється у базі, і тим ξ більша кількість потрапляє на КП.

Для сучасних БТ величина статичного коефіцієнта передачі струму емітера $h_{21B} \approx 0,99$.

Значення коефіцієнта h_{21B} залежить також від струму емітера I_E і від напруги U_{KB} .

Графік залежності $h_{21B} = f(I_E)$ показано на рис. 3.6. В області малих I_E /ділянка I на рис. 3.6/ коефіцієнт інжекції γ значно менший від одиниці, бо $I_{EP} \ll I_{Brk}$, і більшість дірок, інжектовані через ЕП, рекомбінують у базі з електронами. При збільшенні I_E /ділянка II/ дифузійні струми зростають швидше, ніж рекомбінаційні, і коефіцієнт переносу ξ зростає, збільшууючи h_{21B} . При великих струмах емітера /ділянка III/ значно зростає інжекційна електронна складова струму емітера I_{Ep} за рахунок електронів від джерела

U_{EB} . Це приводить до зменшення частки діркового струму через ЕП, зменшується γ і, отже, коефіцієнт передачі транзистора h_{21B} .

Залежність $h_{21B} = f(U_{KB})$ визначається зміною /modуляцією/ товщини бази /рис. 3.7/, а також лавінним множенням носіїв у КП під час пробою. При збільшенні U_{KB} товщина запірного шару КП збільшується в напрямі базової області, скільки $N_{AK} \gg N_{Ab}$. Це супроводжується зменшенням активної ширини бази w і, отже, збільшенням коефіцієнта переносу ξ за формулою /3.7/. При деякій напрузі $U_{KB} = U_{KB\text{ проб}}$ виникає про-

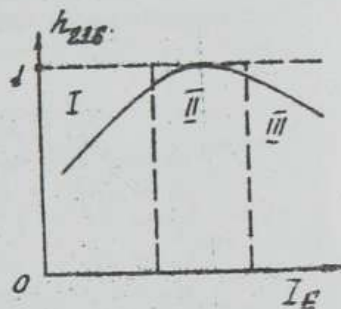


Рис. 3.6. Залежність h_{21B} від струму емітера

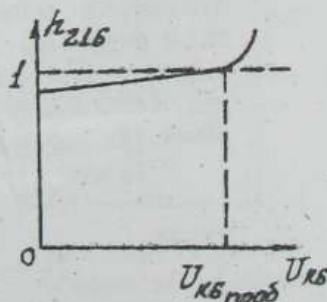


Рис. 3.7 Залежність h_{21B} від напруги колектора

більші ніж лавинне помноження носіїв приводить до збільшення коефіцієнта M . Внаслідок цього згідно з формулами /3.16/ зростає і стає більшим за одиницю коефіцієнт передачі h_{21B} .

3.1.5. Схеми включення транзистора зі спільним емітером та спільним колектором

Схему ЕТ зі спільною базою докладно розглянуто у п.3.1. Розглянемо тепер особливості і основні кількісні співвідношення для схем зі спільним емітером /ССЕ/ та спільним колектором /ССК/.

ССЕ

Будь у названій схемі включення показано на рис. 3.8 для випадку активного режиму. Фізичні процеси в транзисторі аналогічні до процесів в ССВ. Під дією напруги U_{BE} в колі емітера протікає струм I_E , у базі цей струм розгалужується. Основна його частина йде до колектора, створюючи керовану складову вихідного струму. Друга, менша частина струму I_E , йде в кісто бази, створюючи струм бази рекомбінації. Назустріч струму рекомбінації через базу протікає зворотний струм колектора I_{KBO} . Таким чином, вираз /3.10/ є справедливим і для цієї схеми. Але оскільки вхідний струм в ССЕ є струмом бази I_B , то потрібно одержати залежність I_K від I_B . З цією метою в формулу /3.10/ потрібно підставити значення I_E з формулі /3.13/. Одержимо

$$I_K = h_{21E} (I_B + I_{KBO}) + I_{KBO},$$

звідки

$$I_K = \frac{h_{21E}}{1 - h_{21E}} I_B + \frac{1}{1 - h_{21E}} I_{KBO}. \quad /3.13/$$

Уводячи позначення

$$h_{21E} = \frac{h_{21B}}{1 - h_{21B}}, \quad /3.13/$$

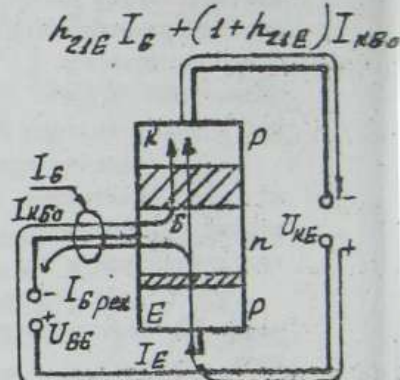


Рис. 3.8. Струми ЕТ у схемі зі спільним емітером

вираз /3.18/ можна одержати у вигляді

$$I_K = h_{24E} I_B + (1 + h_{24E}) I_{KB0}. \quad /3.20/$$

З формулі /3.20/ випливає, що в ССЕ струм колектора має керовану складову $h_{24E} I_B$, що залежить від вхідного струму, і некеровану $I_{KB0} = (1 + h_{24E}) I_{KB0}$.

Коефіцієнт пропорційності h_{24E} , який установлює зв'язок між керованою складовою I_K і струмом бази, називається статичним коефіцієнтом передачі базового струму. При значеннях $h_{24B} = 0,95 - 0,99$ значення h_{24E} складають відповідно 19 - 99.

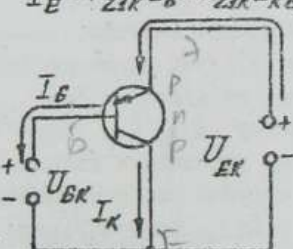
Переваги ССЕ : 1/ високий статичний коефіцієнт передачі вхідного струму $h_{24E} \gg h_{24B}$ - добре підсилювальні властивості БТ у схемі зі спільним емітером; 2/ значно більший вхідний опір ССЕ в порівнянні з ССВ, оскільки при одинакових вхідних напрягах $|U_{EB}| = |U_{BE}|$ струм бази I_B значно менший, ніж струм емітера I_E /див. /3.14//.

Недоліком схеми зі спільним емітером є те, що некероване складове II колекторного струму в $|1 + h_{24E}|$ раз більше, ніж в ССВ, оскільки струм I_{KB0} як одна з складових вхідного струму I_B підсилюється транзистором.

ССК

БТ у схемі включення зі спільним колектором показано на рис. 3.9. Режим роботи транзистора - активний, вхідна напруга схеми U_{BK} , вихідна - U_{EK} , вхідний струм I_B , вихідний - I_E . За формулами /3.10/ та /3.13/ одержуємо

$$I_E = \frac{1}{1 - h_{24B}} I_B + \frac{1}{1 - h_{24B}} I_{KB0}. \quad /3.21/$$



Позначачи

$$h_{24K} = \frac{1}{1 - h_{24B}}, \quad /3.22/$$

вираз /3.21/ можна перетворити до вигляду

Рис. 3.9. Струми БТ у схемі зі спільним колектором

$$I_E = h_{21K} I_B + h_{21K} I_{KB0} /3.23/$$

Отже, вихідний струм ССК має керовану складову $h_{21K} I_B$ і некеровану $h_{21K} I_{KB0}$. Параметр h_{21K} називається статичним коефіцієнтом передачі струму бази у схемі зі спільним колектором. Порівняючи вирази /3.19/ та /3.22/, можна прийти до висновку, що $h_{21K} \approx h_{21E}$. Тому ССК також добре підсилює вихідний струм.

Оскільки в схемі рис. 3.9 $U_{EK} = U_{BK} + U_{EB} \approx U_{BK}$, тому що U_{EB} мала як напруга на прямо включенному переході, а $I_{Bix} \gg I_{Bx}$ /тому що $I_E \gg I_B$ /, то ССК має таку важливу властивість: великий вихідний і малий вихідний опори. Ця обставина зумовлює використання схеми зі спільним колектором при побудові емітерних повторювачів.

Недолік ССК той же самий, що і в ССЕ: оскільки I_{KB0} як складова базового струму підсилюється транзистором, і $h_{21K} \approx h_{21E}$, то схема має велику некеровану складову вихідного струму.

3.1.6. Модель Еберса - Молла

З метою аналізу властивостей ЕТ або електронних схем з транзисторами потрібно використовувати співвідношення, які встановлюють зв'язок між струмами ЕТ і напругами на його електродах. Ці співвідношення можна одержати з моделі транзистора /рис.3.10/, яка носить назву моделі Еберса - Молла. У цій моделі не враховуються об'ємні /розподілені/ опори областей емітера, колектора та бази, переходи зображені як діоди. Джерело струму $h_{21B} I_1$ описує явище управління колекторним струмом за допомогою струму I_E . Джерело $h_{21B} I_2$ враховує можливість управління транзистором в інверсному режимі.

Струми I_1 та I_2 - це струми інжекції переходів,

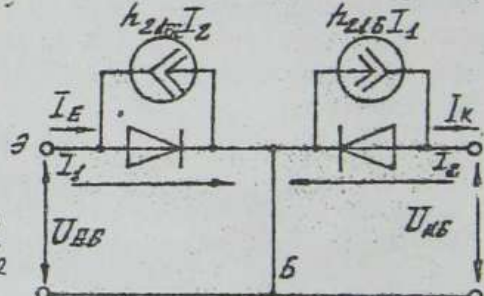


Рис. 3.10. Модель Еберса - Молла ЕІ

що визначаються за формулами:

$$\text{для ЕП} \quad I_1 = I_{SE} \left(e^{\frac{U_{EB}}{qT}} - 1 \right), \quad /3.24/$$

$$\text{для КП} \quad I_2 = I_{SK} \left(e^{\frac{U_{KB}}{qT}} - 1 \right), \quad /3.25/$$

де I_{SE} , I_{SK} - струми насичення ЕП та КП /зворотні струми переходів/. Формула /3.24/ одержана для випадку короткого замикання колектора з базою, формула /3.25/ - для випадку короткого замикання емітера з базою.

Зі схеми моделі Еберса - Молла /рис. 3.10/ випливає, що

$$I_E = I_1 - h_{216i} I_2; \quad /3.26/$$

$$I_K = h_{46i} I_1 - I_2. \quad /3.27/$$

Реальними параметрами БТ є зворотні струми I_{EBO} і I_{KBO} , а не струми I_{SE} та I_{SK} . Тому потрібно виразити I_{SE} через I_{EBO} , а I_{SK} через I_{KBO} .

При $I_E = 0$ і $U_{KB} < 0$ $I_K = I_{KBO}$, і з /3.25/ та /3.26/ одержуємо

$$I_2 = -I_{SK}; \quad I_1 = h_{46i} I_2 = -h_{216i} I_{SK}.$$

Отже, з /3.27/ одержуємо

$$I_{KBO} = I_{SK} - h_{216i} h_{216i} I_{SK}.$$

$$\text{Звідси} \quad I_{SK} = \frac{I_{KBO}}{1 - h_{216i} h_{216i}}. \quad /3.28/$$

Аналогічно одержимо

$$I_{SE} = \frac{I_{EBO}}{1 - h_{216i} h_{216i}}. \quad /3.29/$$

Тоді вирази /3.26/, /3.27/ з урахуванням формул /3.24/, /3.25/, /3.28/ і /3.29/ можна перетворити до вигляду:

$$I_E = \frac{I_{EBO}}{1 - h_{216i} h_{216i}} \left(e^{\frac{U_{EB}}{qT}} - 1 \right) - \frac{h_{46i} I_{KBO}}{1 - h_{216i} h_{216i}} \left(e^{\frac{U_{KB}}{qT}} - 1 \right), \quad /3.30/$$

$$I_K = \frac{I_{KBO}}{1 - h_{216i} h_{216i}} \left(e^{\frac{U_{KB}}{qT}} - 1 \right) + \frac{h_{216i} I_{EBO}}{1 - h_{216i} h_{216i}} \left(e^{\frac{U_{EB}}{qT}} - 1 \right). \quad /3.31/$$

Вирази /3.30/ та /3.31/ називаються рівняннями Еберса-Молла.

Оскільки $I_B = I_E - I_C$, то

$$I_B = \frac{(1-h_{21B})I_{EBO}}{1-h_{21B}h_{11B}} \left(e^{\frac{U_{EB}}{V_T}} - 1 \right) + \frac{(1-h_{21B})I_{CBO}}{1-h_{21B}h_{11B}} \left(e^{\frac{U_{CB}}{V_T}} - 1 \right). /3.32/$$

Одержані рівняння Еберса - Молла описують нелінійну модель ідеалізованого транзистора. Вони застосовуються при машинному аналізі електронних схем.

3.2. СТАТИЧНІ ХАРАКТЕРИСТИКИ І ПАРАМЕТРИ ЕПОЛЯРНИХ ТРАНЗИСТОРІВ

Статичним режимом напівпровідникового пристроя називається режим, у якому всі параметри /напруги, струми електродів/ постійні. Статичні характеристики виражають залежність між струмом електрода і постійними напругами на електродах пристрію.

При аналізі БТ у статичному режимі важливо установити зв'язок між його струмами і напругами. З цією метою БТ можна представити як чотириполюсник, на вході якого діється комплексні входні напруга \dot{U}_{bx} і струм \dot{I}_{bx} , а на виході - комплексні \dot{U}_{bx} і

\dot{I}_{bx} /рис. 3.11/. Якщо чотириполюсник у загальному випадку нелінійний, тобто входні напруга і струм змінюються в широких межах, то функціональна залежність \dot{U}_{bx} , \dot{I}_{bx} від \dot{U}_{bx} , \dot{I}_{bx} описується в формі статичних характеристик.

Параметри чотириполюсника, які також описують зв'язок між входними та вихідними величинами чотириполюсника в статичному режимі, на відміну від характеристик, визначаються при малих змінах \dot{U}_{bx} і \dot{I}_{bx} , і тому чотириполюсник у цьому разі вважається лінійним, а параметри називаються малосигнальними.

Характеристики і параметри БТ як чотириполюсника розподіляються між системами в залежності від того, які напруги і струми беруться за аргументи, а які - за значення функцій. Найбільш поширеними є три системи характеристик і параметрів: Y - , Z - та

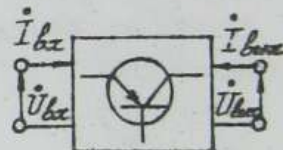


Рис. 3.11. БТ як чотириполюсник

Н - системи /табл. 3.3/.

Оскільки найбільше

прикладне значення
має Н-система харек-
теристик і параметрів
/так звана гібридна
система/ і саме ІІ
приділяється макси-
мальна увага в ін-
женерній практиці.

в довідниках та іншій спеціальній літературі, то надалі розгляда-
тимемо саме II, тобто вивчатимемо систему статичних гібридних ха-
рактеристик і малосигнальних h - параметрів.

Отже, в Н-системі за аргументи беруться входний струм та
вихідна напруга:

$$U_{\delta x} = f(I_{\delta x}, U_{\delta u}),$$

/3.33/

$$I_{\delta u} = f(I_{\delta x}, U_{\delta u}).$$

у статичному режимі один з аргументів фіксується, і ЕТ
можна описати наступними сім'ями характеристик:

$$\text{вхідних } U_{\delta x} = f(I_{\delta x}) \mid U_{\delta u} = \text{const};$$

$$\text{вихідних } I_{\delta u} = f(U_{\delta u}) \mid I_{\delta x} = \text{const};$$

$$\text{зворотного зв'язку } U_{\delta x} = f(U_{\delta u}) \mid I_{\delta x} = \text{const};$$

$$\text{прямої передачі } I_{\delta u} = f(I_{\delta x}) \mid U_{\delta u} = \text{const}.$$

На практиці зручніше користуватись входними оберненими
характеристиками $I_{\delta x} = f(U_{\delta x}) \mid U_{\delta u} = \text{const}$. Крім того,
останні дві сім'ї, які застосовуються рідше, ніж сім'ї
вхідних і вихідних характеристик, можуть бути одержаними з пер-
ших. Розглянемо статичні гібридні характеристики ЕТ для кожної схе-
ми включення окремо.

3.2.1. Статичні характеристики біполярного транзистора у схемі зі спільною базою

Теоретично статичні характеристики ЕТ в ССБ можуть бути
одержані за допомогою рівнянь Еберса - Молла. Але в цих рівняннях

Таблиця 3.3

Системи	Y	Z	H
Аргументи	$U_{\delta x}, U_{\delta u}$	$I_{\delta x}, I_{\delta u}$	$I_{\delta x}, U_{\delta u}$
Функції	$I_{\delta x}, I_{\delta u}$	$U_{\delta x}, U_{\delta u}$	$U_{\delta x}, I_{\delta u}$

не враховуються опір бази і модуляція II тощо в залежності від зміни напруги U_{KB} . Тому на практиці застосовують експериментально зняті статичні характеристики. Схему для зняття характеристик ЕТ зі спільною базою зображене на рис. 3.12.

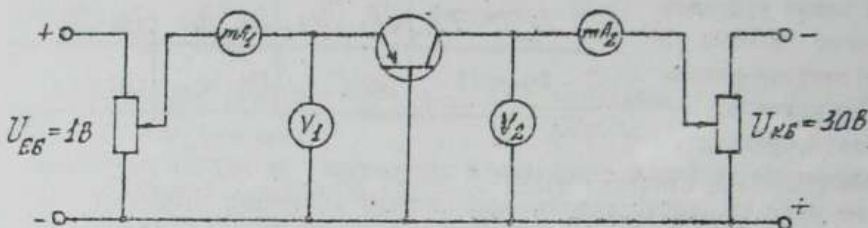


Рис. 3.12. Схема лабораторного зняття статичних характеристик ЕТ зі спільною базою

Слід зауважити, що при одержанні характеристик для $n-p-n$ -транзистора потрібно змінити полярність напруг U_{EB} і U_{KB} .

Вхідні характеристики

Це залежності $I_E = f(U_{EB})|_{U_{KB}=\text{const}}$. Графіки цієї характеристики показано на рис. 3.13.

При $U_{KB} = 0$ /колектор/ замкнутого з базою/ вхідна характеристика відтворює пряму вітку ВАХ ЕТ

$$I_E = I_{E0} \cdot (e^{\frac{U_{EB}}{U_T}} - 1).$$

/3.34/

При негативній напрузі на колекторі характеристика зміщується вгору, в бік більших струмів емітера. Причина цього зміщення:

1/ при збільшенні негативної U_{KB} зменшується активна ширина бази W , зростає градієнт концентрації дірок у базі /рис. 3.14/, і тому при незмінній напрузі U_{EB} збільшується I_E ;

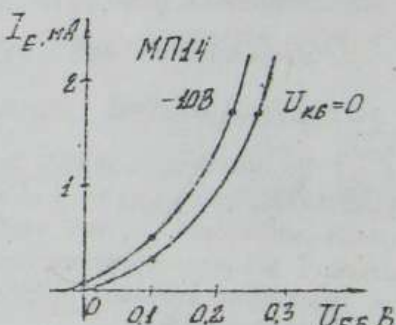


Рис. 3.13. Статичні вхідні характеристики ЕТ зі спільною базою

2/ при збільшенні зворотної напруги U_{KB} на КП зростає зворотний струм колектора I_{KB} , який, протікаючи через розподілений опір бази γ_B , створює на ньому падіння напруги зворотного зв'язку U_{ZB} /рис. 3.15/. Ця напруга, узгоджена з напругою

U_{EB} за напрямом, сприяє більшому відкриванню БТ і зростанню внаслідок цього струму I_E . Під впливом перерахованих причин у емітерному колі БТ при $U_{EB} = 0$ і негативній напрузі на колекторі протікає невеликий струм емітера. Для того, щоб його усунути, треба до емітера приклести невелику негативну напругу.

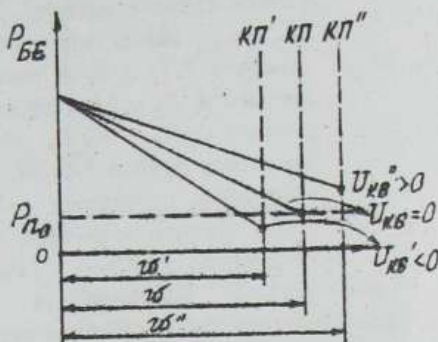


Рис. 3.14. Модуляція товщини бази БТ та її вплив на розподіл концентрації неосновних носіїв

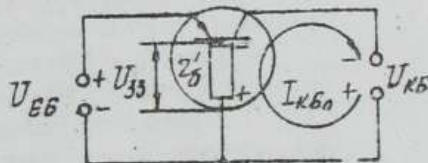


Рис. 3.15. Утворення напруги зворотного зв'язку на розподіленому опорі бази

Вихідні характеристики

Вихідні характеристики БТ у ССБ - це графіки залежності

$$I_K = f(U_{KB}) / I_E = \text{const} ,$$

зображені на рис. 3.16.

Урахувавши вплив напруги U_{KB} на зворотний струм колектора, рівняння для струму колектора /3.10/ можна записати у вигляді

$$I_K = h_{24B} I_E - I_{KB0} (e^{\frac{U_{KB}}{V_T}} - 1) . \quad /3.35/$$

Содержана формула описує вихідні характеристики при різних струмах емітера.

Межою між режимом відсічки / $I_E < 0$ / і активним режимом / $I_E > 0$ / є характеристика при $I_E = 0$, яка є зворотною вітковою РАХ КП. При збільшенні негативної напруги

U_{KB} струм колектора швидко досягає значення I_{KBO} . І подальше зростання I_K зумовлюється зростанням струмів генерації та витоку КП. При деяких високих напругах U_{KB} / для транзистора МП14 при

$I_E = 0$ ці напруги перевищують 15 В / у КП виникає пробій, то супроводжується значним зростанням колекторного струму.

При $I_E > 0$ вихідні характеристики змінюються в бік більших колекторних струмів на величину $h_{21B} I_E$ згідно з формулой / 3.35 /. У загальному випадку це змінення має нееквідistantний характер, тобто рівним приростам вхідного струму ΔI_E відповідають нерівні приrostи вихідного струму ΔI_K . Це явище виклиkanе залежністю $h_{21B} = f(I_E)$, зображену на рис. 3.6, яка свідчить, що статичний коефіцієнт передачі струму h_{21B} не є постійною величиною для різних струмів емітера. Для більших колекторних та емітерних струмів пробій КП відбувається при менших напругах і може перетворитися в тепловий. З метою виключення можливості теплового пробою режим роботи приладу треба збирати нижче кривою максимально допустимої потужності P_{Kmax} , що розсіюється колектором / пунктирна гіпербола на рис. 3.16 /.

При $U_{KB} > 0$ та $I_E > 0$ переходи транзистора включаються у прямому напрямі, і прилад переходить до режиму насичення. В цьому режимі різко зменшується I_K , тому що зростає інжекційна складова колекторного струму, яка компенсує керовану, екстракційну складову.

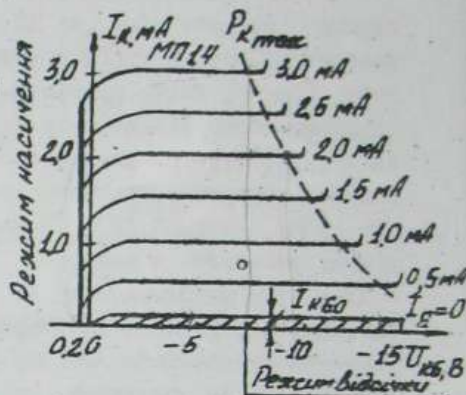


Рис. 3.16. Статичні вихідні характеристики БТ зі спільною базою.

Характеристики прямої передачі

Це залежності $I_K = f(I_E)$ | $U_{KB} = \text{const}$ /рис. 3.17/. Вони ґрунтуються на рівняннях /3.10/ або /3.35/. З рівняння /3.35/ видно, що при $U_{KB} = 0$ характеристика починається з точки, яка є початком координат / $I_E = 0$, $I_K = 0$ /, а нахил цієї характеристики визначається залежністю h_{21B} від I_E . При

$U_{KB} < 0$ характеристика починається з точки $I_K = I_{KB0}$, в зміні II нахилу зумовлюється залежністю $h_{21B} = f(U_{KB})$ /рис. 3.7/. Характеристику прямої передачі можна одержати з сім'ї вихідних характеристик, фіксуючи U_{KB} .

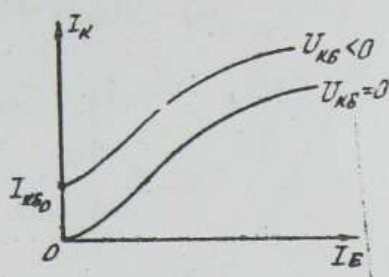


Рис. 3.17. Сім'я характеристик прямої передачі БТ зі спільною базою

Характеристики зворотного зв'язку

Сім'я характеристик зворотного зв'язку

$U_{EB} = f(U_{KB}) / I_E = \text{const}$ показана на рис. 3.18. При збільшенні U_{KB} зменшується активна ширина бази транзистора w , і за рахунок зростання градієнта концентрації дірок у базі /див. рис. 3.14/ зростає струм I_E . Для підтримання його постійного значення, як того вимагають умови зняття характеристик, потрібно зростання I_E компенсувати зменшенням напруги U_{EB} . Ця обставина зумовлює від'ємний нахил характеристик. У базі транзистора зменшення U_{EB} приходить при збільшенні U_{KB} до відновлення по переднього градієнта концентрації

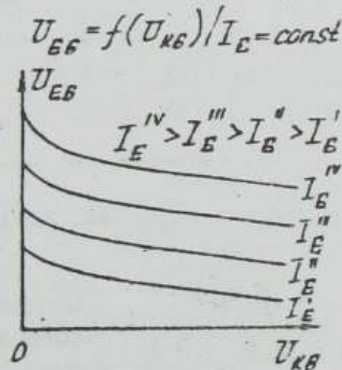


Рис. 3.18. Сім'я характеристик зворотного зв'язку БТ зі спільною базою

дірок, тобто нахилу графіка $\rho_n = f(x)$ /рис. 3.19/.

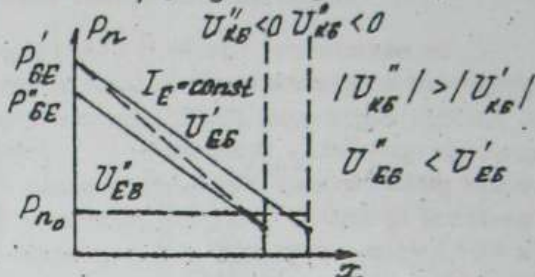


Рис. 3.19. Розподіл концентрації дірок у базі при знятті характеристик зворотного зв'язку БТ зі спільною базою

3.2.2. Статичні характеристики біполярного транзистора у схемі зі спільним емітером

Схему для зняття характеристик БТ в ССЕ показано на рис. 3.20.

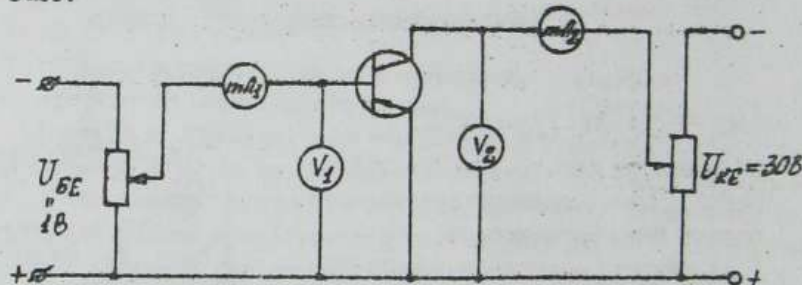


Рис. 3.20. Схема для експериментального зняття характеристик БТ зі спільним емітером

Вхідні характеристики

Це залежності $I_B = f(U_{BE})$ / $U_{KE} = \text{const}$ /рис. 3.21/.

При $U_{KE} = 0$ обидва $p-n$ -переходи транзистора включені в прямому напрямі /рис. 3.22/, і вхідна характеристика є прямою лінією ВАХ двох паралельно включених переходів.

При $U_{KE} < 0$ КП включається в зворотному напрямі, і в колі бази протікає струм

$$I_B = I_{Brek} - I_{KBO} = (1 - h_{21B})I_E - I_{KBO}. \quad /3.36/$$

При $U_{BE}=0$ ($I_E=0$) струм бази має тільки одну складову - зворотний струм КП $I_B = -I_{KBO}$. При збільшенні напруги U_{BE} починає зростати струм I_E , а разом з ним - рекомбінаційна складова струму бази

$$I_{Brek} = (1 - h_{21B})I_E.$$

Струм I_B зменшується за модулем, оскільки I_{Brek} спрямований у колі бази назустріч I_{KBO} . При деякій напрузі U_{BE} струм бази дорівнює нулю. Подальше зростання струму бази зумовлене зростанням рекомбінаційної складової I_{Brek} , яка починає перевищувати зворотний струм колектора I_{KBO} .

Внаслідок того, що струм I_{KBO} невеликий, на більшості вхідних характеристик ЕТ зі спільним емітером у довіднику область негативних струмів бази не зображують.

Вихідні характеристики

Це залежності $I_K = f(U_{KE})$ при $I_B = \text{const}$ /рис. 3.23/.

Межою між РВ та АР є характеристика, що знята при струмі бази $I_B = -I_{KBO}$. Це зумовлено особливостями вхідних характеристик схеми зі спільним емітером, тобто тим, що $I_B < -I_{KBO}$ лише при позитивних напругах U_{BE} /у режимі відсічки/. Вихідна характеристика при $I_B = 0$ відповідає випадку, коли

$$(1 - h_{21B})I_E = I_{KBO}. \quad /3.37/$$

При цьому зростання негативної напруги U_{KE} приводить

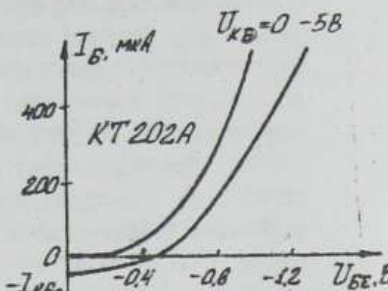


Рис. 3.21. Статичні вхідні характеристики ЕТ зі спільним емітером

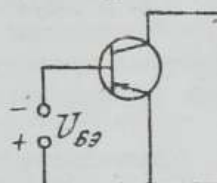


Рис. 3.22. ЕТ зі спільним емітером при $U_{KE} = 0$

до збільшення напруги U_{BE} , при якій зберігається умова /3.37/, як це випливає з сім*1 вхідних характеристик /рис. 3.21/. Остання обставина викликає зростання емітерного I_E і, як наслідок, колекторного I_K струмів.

При подальшому збільшенні I_B вихідні характеристики змінюються за законом

$$I_K = h_{2IE} I_B - (1 + h_{2SE}) I_{B0} \times \\ \times \left(e^{\frac{U_{BE}}{V_T}} - 1 \right).$$

/3.38/

Невідмінність зміщення характеристик в бік більших струмів колектора зумовлена характером залежності $h_{2IE} = f(I_B)$ /рис. 3.24/.

Характер проходження вихідної характеристики БТ при фіксованому струмі бази $I_B \neq 0$ пояснюється наступним чином. При $U_{KE} = 0$ за рахунок того, що потенціал бази нижчий, ніж одинакові потенціали емітера і колектора, ЕП і КП включені в прямому напрямі, і ЕТ перебуває в РН. Тепер, якщо збільшувати негативний потенціал на колекторі / $U_{KE} < 0$ /, потенціальний бар'єр КП збільшується, інверсійна складова колекторного струму спадає, а паровинний струм колектора за рахунок зростаючої екстракції дірок з бази до колектора збільшується. При збільшенні напруги $U_{KE} < 0$ до моменту рівності $|U_{KE}| = |U_{BE}|$ струм I_K зростає різко за рахунок роземоктування дірок, що накромадились у базі в РН. При виконанні рівності $|U_{KE}| = |U_{BE}|$ транзистор переходить до АР, зростання колекторного струму сповільнюється, що

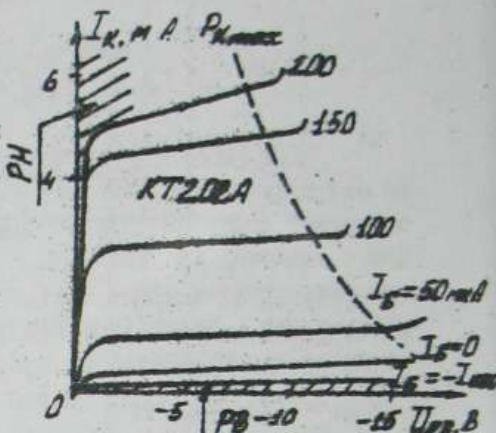


Рис. 3.23. Статичні вихідні характеристики БТ зі спільним емітером

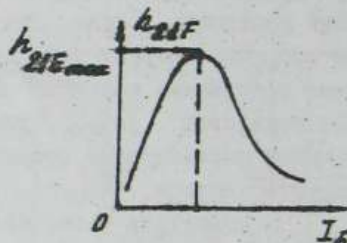


Рис. 3.24. Залежність $h_{2IE} = f(I_B)$

на характеристиках рис. 3.23 відповідає точечку пологого ділення. Важливим є те, що наклон вихідних характеристик БТ зі спільним емітером на пологій діленні більший за наклон відповідних характеристик БТ зі спільною базою, тобто у ССЕ струм I_K зростає при збільшенні колекторної напруги швидше, ніж у ССБ. Це зумовлено двома причинами.

1. Напруга U_{KE} , на відміну від вихідної напруги U_{BE} у ССБ, розподіляється між ЕП та КП, а не прикладена лише до КП. Тому при збільшенні U_{KE} дещо зростає й напруга U_{BE} , що приводить до збільшення емітерного I_E , а отже, і колекторного I_K струмів.

2. Зростання негативної напруги U_{KE} приводить до збільшення товщини НІ і зменшення активної ширини бази W . Це приводить до зменшення рекомбінаційного струму бази, бо зменшується ймовірність рекомбінації дірок з електронами. Однак при одержанні вихідних характеристик БТ зі спільним емітером потрібно підтримувати струм бази $I_B \approx I_{Bmax} = (1 - h_{21E})I_E$ саме постійним. Тому зменшення струму бази можна компенсувати збільшенням струму емітера I_E /за рахунок збільшення напруги U_{BE} /. А ця обставина викликає додаткове зростання колекторного струму I_K .

Характеристики прямої передачі

Характеристиками прямої передачі є залежності

$$I_K = f(I_B) \mid U_{KE} = \text{const} \quad / \text{рис. 3.25} /.$$

Реальні характеристики від-

різняються від лінійних, і їх наклон в деякій мірі залежить від напруги U_{KE} . Швидкість зростання I_K із зростанням струму бази зменшується. Це зумовлено залежністю

$$h_{21E} = f(I_B) \quad / \text{рис. 3.24} /.$$

Знаходження характеристики прямої передачі при $U_{KE} = 0$ у від'ємному квадранті тяється тим, що в РН колекторний струм БТ має напрям, протилежний до напряму I_K в АР.

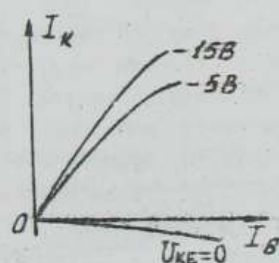


Рис. 3.25. Характеристики прямої передачі БТ зі спільним емітером

Характеристики зворотного зв'язку

Залежності

$$U_{BE} = f(U_{KE}) \mid I_B = \text{const}$$

показано на рис. 3.26. Збільшення напруги U_{KE} приводить до зменшення активної ширини бази w , зменшення струму бази. Для підтримання постійного значення I_B потрібно збільшувати емітерний струм I_E , підвищуючи напругу U_{BE} .

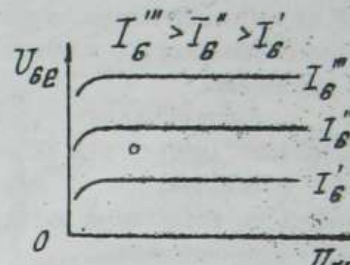


Рис. 3.26. Характеристики зворотного зв'язку БТ зі спільним емітером

3.2.3. Статичні характеристики біполярного транзистора у схемі зі спільним колектором

Вхідні характеристики БТ в ССК $I_B = f(U_{BK}) \mid U_{EK} = \text{const}$ показано на рис. 3.27.

При $U_{BK} > U_{EK}$ ЕП включено у зворотному напрямі, і через базу протікає лише зворотний струм колектора I_{Kb} . При $U_{BK} < U_{EK}$ ЕП відкривається, струм бази змінює свій напрям і збільшується при зменшенні напруги U_{BK} . Це відбувається тому, що при зменшенні U_{BK} зростає напруга U_{EB} , оскільки вихідна напруга U_{EK} підтримується постійною. Але це приводить до зростання струму емітера I_E і зв'язаного з ним струму бази I_B .

Вихідні характеристики транзистора зі спільним колектором $I_E = f(U_{EK})$ при $I_B = \text{const}$ мають нічим не відрізняться від вихідних характеристик схеми зі спільним емітером, тому що $I_E \approx I_K$, а $U_{EK} = -U_{KE}$.

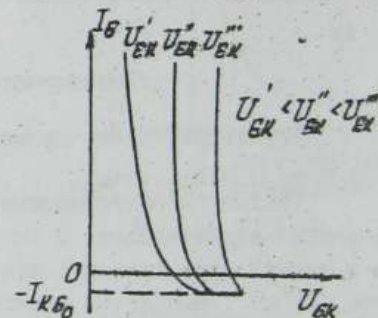


Рис. 3.27. Статичні вхідні характеристики БТ зі спільним колектором

3.2.4. Вплив температури на статичні характеристики транзисторів

Температурна залежність вихідних або входних характеристик зумовлена зміною відпорідно колекторного або емітерного струму при зміні температури.

Схема зі спільною базою

В ССБ згідно з рівнянням /3.10/ зміна колекторного струму при постійному струмі емітера

$$dI_K = I_E d h_{24B} + dI_{KB0}.$$

Відносна зміна струму колектора

$$\frac{dI_K}{I_K} = \frac{I_E}{I_K} d h_{24B} + \frac{dI_{KB0}}{I_K} = \frac{d h_{24B}}{h_{24B}} + \frac{I_{KB0} \cdot dI_{KB0}}{I_K I_{KB0}}. \quad /3.39/$$

Коефіцієнт передачі струму емітера h_{24B} від температури може не залежати, тому температурна зміна h_{24B} не пливає на дрейф характеристик. Другий доданок у формулі /3.39/ визначає температурний дрейф характеристик, викликаний температурною зміною зворотного струму колектора I_{KB0} :

$$I_{KB0}(T_2) = I_{KB0}(T_1) e^{\alpha(T_2 - T_1)}, \quad /3.40/$$

де $I_{KB0}(T_1)$ - зворотний струм при температурі T_1 ;

$I_{KB0}(T_2)$ - при температурі T_2 ;

$\alpha = 0,09^{\circ}/K$ для германію;

$\alpha = 0,13^{\circ}/K$ для кремнію.

В практичних розрахунках вважається, що величина I_{KB0} подвоюється при зростанні температури на $10^{\circ}C$ для германієвих ЕТ і на $8^{\circ}C$ для кремнієвих БТ. Але вплив другого доданка формули /3.39/ на температурний дрейф вихідних характеристик є незначним, оскільки для більшості транзисторів $I_{KB0}/I_K = 10^{-3} - 10^{-6}$.

Саме тому температурні зміни вихідних характеристик ЕТ зі спільною базою невеликі /рис. 3.28/.

Значно більшої температурної зміни зазнають входні характеристики.

$$\text{Відомо, що } I_E \approx I_{EB0} e^{\frac{U_{EB}}{4T}} \quad (U_{EB} \gg \varphi_T),$$

де I_{EB0} - зворотний струм емітера, залежність якого від тем-

ператури така ж, як і струму I_{KB} .

Внаслідок цього залежність емітерного струму від температури набирає вигляду

$$I_E(T_2) = I_{E0}(T_1) e^{\frac{U_{EB}}{V_T} \alpha(T_2 - T_1)}$$

/3..

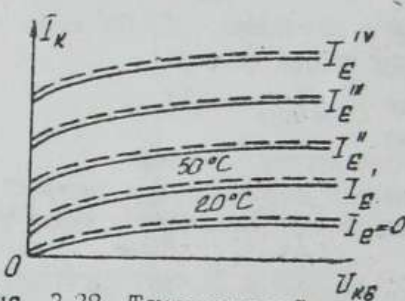


Рис. 3.28. Температурний дрейф вихідних характеристик БТ зі спільною базою

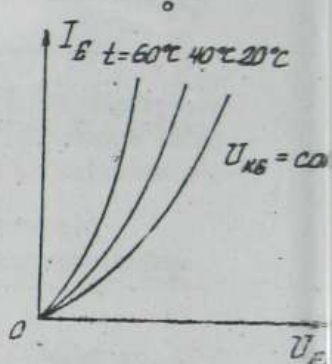


Рис. 3.29. Температурний дрейф вихідних характеристик БТ зі спільною базою

Тому збільшення температури супроводжується зростанням струму емітера і зміщенням вихідних характеристик в бік більших струмів /рис. 3.29/. Звичайно вважають, що при чімні температури на один градус характеристики зміщуються вліво на 1-2 мВ.

Схема зі спільним емітером

Для оцінки температурної зміни вихідних характеристик БТ в ССЕ визначимо повний диференціал від рівняння /3.20/

$$dI_K = (I_B + I_{KB0}) dh_{UE} + (1 + h_{UE}) dI_{KB} \quad /3.42/$$

$dI_B = 0$, оскільки в вихідних характеристиках $I_B = \text{const}$. Оскільки $h_{UE} = h_{UB} / (1 + h_{UB})$, то

$$\frac{dh_{UE}}{dh_{UB}} = \frac{d}{dh_{UB}} \left(\frac{h_{UB}}{1 + h_{UB}} \right) = (1 + h_{UB})^2.$$

Отже,

$$\frac{dI_K}{I_K} \Big|_{CCE} = \frac{I_B + I_{KB0}}{I_K} (1 + h_{21E})^2 dI_{21B} + (1 + h_{21E}) \frac{I_{KB0} \cdot dI_{KB0}}{I_K}.$$

Оскільки

$$1 + h_{21E} = \frac{h_{21E}}{h_{21B}} \quad \text{i} \quad (I_B + I_{KB0})h_{21E} \approx I_E,$$

то врешті отримуємо

$$\frac{dI_K}{I_K} \Big|_{CCE} = (1 + h_{21E}) \left(\frac{dh_{21B}}{h_{21B}} + \frac{I_{KB0} \cdot dI_{KB0}}{I_{KB0}} \right) = (1 + h_{21E}) \frac{dI_K}{I_K} \Big|_{CSE} / 3.43 /$$

З цього виразу видно, що температурний дрейф вихідних характеристик БТ зі спільним емітером в $1 + h_{21E}$ раз більший, ніж у ССЕ. Це суттєвий недолік схеми зі спільним емітером / рис. 3.30/.

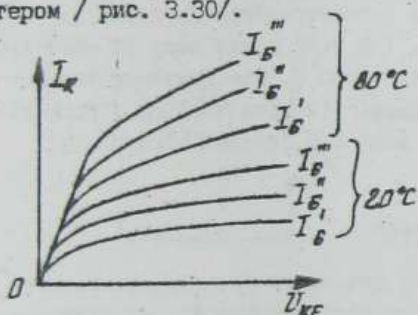


Рис. 3.30. Графік впливу температури на вихідні характеристики БТ зі спільним емітером

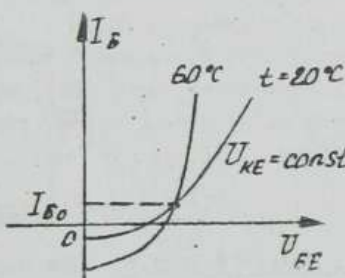


Рис. 3.31. Графік впливу температури на вихідні характеристики БТ зі спільним емітером

Вихідні характеристики БТ у ССЕ також зазнають змін при зміні температури /рис. 3.31/. Збільшення температури викликає зростання струмів I_{KB0} та I_{BREK} , які спрямовані у колі СБЗи назустріч один одному. Тому вихідні характеристики, зняті при різних температурах, перетинаються при малих струмах бази /т. I_{B0} на рис. 3.31/.

3.2.5. Границі режими транзистора

Робочий діапазон температур

При кімнатній температурі іонізовані всі атоми домішок і невелика частина атомів основної речовини НП /чистого НП/. Завдяки цьому в емітерній, колекторній і базовій областях ЕТ забезпечуються потрібні концентрації основних і неосновних носіїв. З підвищеннем температури навколошнього середовища або при нагріванні транзистора протіканнями струмами зростає число генерованих пар електрон-дірка. Внаслідок зростання концентрації носіїв електропровідність областей приладу збільшується, і його нормальна робота порушується. Практика доводить, що максимальна робоча температура германійових ЕТ лежить у межах від +70 до +100°C. У кремнійових транзисторів внаслідок більшої ширини ЗЗ енергія, необхідна для іонізації атомів основної речовини, виявляється більшою, ніж у германійових, і тому максимальна робоча температура кремнійових приладів може складати від +125 до +200°C.

Мінімальна робоча температура ЕТ визначається енергією іонізації домішкових атомів та їх концентрацією. Звичайно ця енергія невелика /0,05 - 0,1 eB/, і з цієї точки зору ЕТ може працювати при мінімальній температурі - 200°C. Але фактична нижня границя температури обмежується термостійкістю корпуса і допустимими змінами параметрів, тому ця величина складає звичайно від -60° до -70°C.

Пробсі транзистора

I. Тепловий пробіг. При порушенні теплового балансу, коли внаслідок недостатнього тепловідводу приріст потужності, що підводиться до НП, не компенсується відповідним приростом потужності, що відводиться, в ЕТ відбувається тепловий пробіг. Він супроводжується необмеженим зростанням температури переходу, збільшенням колекторного струму і потужності, що підводиться, і, як наслідок, перегрівом приладу і його зіпсуттям.

Величина напруги, яка не приводить до теплового пробою ЕТ, визначається за формуловою [2]

$$U_{KB_T} \leq \frac{T_{max} - T_0}{R_T \cdot I_{KB0}} ,$$

/3.44/

- де T_{max} - максимальна допустима температура ІІ;
 T_0 - температура навколошнього середовища;
 R_t - тепловий спір тепловідводу /корпус, радіатор тощо/.

Таким чином, допустима напруга U_{KBT} тим менша, чим більші струм I_{KB0} , тепловий спір і температура навколошнього середовища. При незадовільному тепловідводі і високій температурі середовища напруга теплового пробою може стати меншою за робочу напругу транзистора. Особливо небезпечно є тепловий пробій для потужних ЕТ, котрі мають звінчний зворотний струм колектора I_{KB0} .

2. Електричний пробій. Оскільки переходи ЕТ взаємодіють між собою, то величина пробивної напруги залежить від схеми включення приладу та від режиму його використання. Зупинимося на прикладі схеми зі спільним емітером.

Нехай маємо ЕТ у ССЕ з розімкненим емітерним колом
 $/I_E=0$ /рис. 3.32, а/.

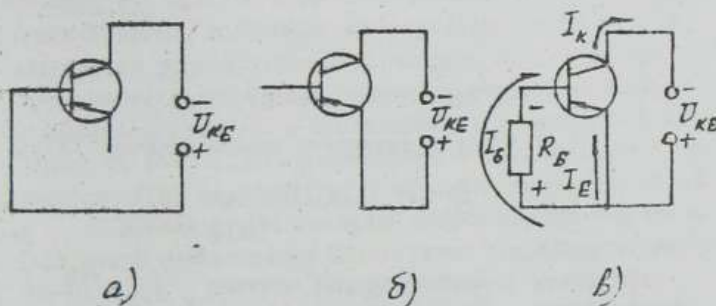


Рис. 3.32. До пояснення впливу режиму роботи ЕТ на величину пробивної напруги: а/ $I_E=0$;
б/ $I_B=0$;
в/ $U_{BE}=I_B R_B$.

Зауважимо, що цей приклад цілком аналогічний до схеми зі спільною базою при $I_E=0$. Коефіцієнт множення колекторного струму у ЕТ при $I_E=0$

$$M = \frac{I}{I - (U_{KB}/U_{KB, \text{проб}})^n}, \quad /3.45/$$

де $n = 2-6$ в залежності від матеріалу виготовлення БТ та виду $p-n$ - переходу.

Лавинний пробій КП відбувається при наближенні напруги U_{KB} до значення $U_{KB\text{проб}}$. При цьому різко зростає коефіцієнт передачі струму емітера $/Mh_{21E} \rightarrow \infty/$ і колекторний струм, як показано на рис. 3.32 /крива $I_E = 0$ /.

Якщо тепер розірвати лише базове коло /рис. 3.32, б/, тобто $I_B = 0$, то колекторний струм порівнюється

$$I_K = (1 + h_{21E}) I_{KB0} \approx h_{21E} I_{KB0}.$$

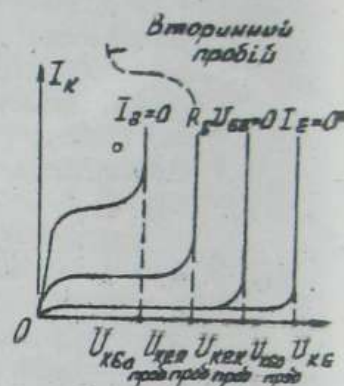


Рис. 3.32. Залежність пробивної напруги від режиму роботи БТ

/3.46/

У випадку лавинного пробою формула /3.46/ набере вигляду

$$I_K = \frac{Mh_{21B}}{1 - Mh_{21B}} I_{KB0}, \quad /3.47/$$

при цьому знаменник правої частини $L - Mh_{21B} \rightarrow 0$, струм колектора $I_K \rightarrow \infty$ /крива $I_B = 0$ на рис. 3.33/. Рахуючи цю умову і вираз /3.45/, можна одержати формулу для визначення пробивної напруги колектор-емітер при $I_B = 0$:

$$U_{KE0\text{проб}} = U_{KB0\text{проб}} \sqrt{1 - h_{21B}}. \quad /3.48/$$

Стеж: $U_{KE0\text{проб}} < U_{KB0\text{проб}}$. Пробивна напруга в СС при $I_B = 0$ в 2-3 рази менша, ніж пробивна напруга в СС при $I_E = 0$.

3. Вплив спору у колі бази. Пробивна напруга БТ залежить від величини опору R_B , увімкненого в базове коло. Цей опір /рис. 3.32, в/ зумовлює позитивний зворотний зв'язок між виходом і входом транзистора: зростання колекторного струму в граничному

режимі /при $U_{KE} \approx U_{KE\text{ проб}}$ / приводить до збільшення прямої напруги на ЕЛ, що, в свою чергу, веде до подальшого зростання I_K , нового збільшення I_B і т.д. Внаслідок цього транзистор втрачає стійкість і пробивається /крива R_B на рис. 3.33/.

Чим більший R_B , тим сильніший позитивний зворотний зв'язок. Найгіршим є випадок розриву кола бази / $I_B = 0$ /, коли пробивна напруга стає мінімальною /рис. 3.33/. Саме з цієї причини звичайно забороняється застосовувати транзистори у режимі розімкненого базового кола. Основною недопустимістю є такий режим для потужних ЕТ, які в цьому випадку пробиваються при маліх U_{KE} .

Найбільш стійким є режим при $R_B = 0$. Однак із-за впливу розподіленого опору бази γ'_B навіть при R_B проблема напруга залишається меншою, ніж при відключенному емітері /крива $U_{SE} = 0$ на рис. 3.33/.

Слід зауважити, що включення опору до емітерного кола сприяє збільшенню противної напруги, бо таке включення забезпечує з'явлення негативного зворотного зв'язку, який у певній мірі компенсує дію опору R_B .

4. Вторинний пробій. При значному колекторному струмі, особливо в імпульсному режимі, в ЕТ може виникнути вторинний пробій, який супроводжується різким зменшенням напруги колектора при одночасному збільшенні колекторного струму, і на вихідній характеристиці з'являється ділянка з негативним диференційним опором /пунктирна крива на рис. 3.33/. Колекторний струм, при якому виникає вторинний пробій, зменшується із збільшенням зворотної напруги U_{KE} . Можливість виникнення вторинного пробою залежить також від опору навантаження ЕТ, а також від напруги живлення E_K .

Розвиток вторинного пробою суттєво визначається локальними неоднорідностями транзисторної структури, які зумовлюють нерівномірний розподіл густини струму, місцевий нагрів, а потім і перегрів структури, що супроводжується проплавленням бази.

5. Пробій змікання – це пробій, зумовлений зміканням ЕЛ та КП. Розширення КП в бік бази внаслідок того, що концентрація домішок у базі більш низька, ніж у колекторі, може привести до того, що при певній напрузі змікання КП заповнить собою всю базову область і з'єднеться з ЕЛ. Транзистор при цьому втрачає свої підсилювальні властивості. Цей ефект має значення для ЕТ з дуже вузькою ба-

всі, у яких напруга змикання невелика і відповідає граничній допустимій напрузі колектора.

Максимально допустима потужність,
що розсіюється колектором

При протіканні струму через транзистор тепло виділяється головним чином на КП, оскільки саме він має найбільший електричний опір в усій транзисторній структурі. Різведення тепла від КП в ЕТ здійснюється за рахунок теплопровідності. Максимальна потужність розсіювання транзистора визначається максимально допустимою температурою його КП T_{max} і температурою навколишнього середовища T_0 , а також тепловим опором теплосвідгоду R_T :

$$P_{Kmax} = \frac{T_{max} - T_0}{R_T}. \quad /3.49/$$

З другого боку, потужність, що розсіюється колектором, визначається струмом I_K та напругою U_{KE} (U_{KB}). Робочий струм ЕТ не повинен перевищувати I_{Kmax} — максимально допустимого колекторного струму, значення якого дается у довідниках. При $I_K > I_{Kmax}$ транзистор перегрівається, зростає флюївільність теплового пробою. Максимально допустима напруга

U_{KEmax} обмежується флюївільністю ларинного пробою КП і новодиться у довідниках. При цьому для більшості транзисторів

$$|U_{KEmax}| < |U_{KBmax}|.$$

Стже, вибір робочого режиму ЕТ зумовлено трьома обмеженнями /рис. 3.34/:

1/ I_{Kmax} — максимальним струмом колектора;

2/ U_{KEmax} — максимальною колекторною напругою;

3/ $P_{Kmax} > P_K = I_K U_{KE}$ — максимальною потужністю, що розсіюється колектором.

При перевищенні із них граничних параметрів ЕТ може вийти з ладу, надійність роботи транзисторної схеми різко зменшується.

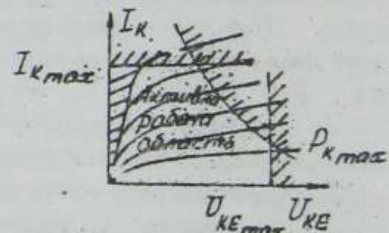


Рис. 3.34. Діаграми, що обмежують вибір робочої точки ЕТ зі спільним гейтером

3.2.6. Диференціальні параметри біполярного транзистора

Властивості транзистора в АР спираються за допомогою диференціальних, або малосигнальних, параметрів.

Розглянемо гібридні диференціальні параметри транзисторе / h - параметри/, оскільки саме вони найчастіше використовуються на практиці.

В діапазоні низьких частот h - параметри установлють відповідність між малими амплітудами /приростами/ струмів і напруг чотириполюсника/рис. 3.11/. Ця відповідність описується наступною системою рівнянь:

$$\begin{cases} U_{mbx} = h_{11} I_{mbx} + h_{12} U_{mbux} \\ I_{mbux} = h_{21} I_{mbx} + h_{22} U_{mbux} \end{cases} \quad /3.50/$$

де	$h_{11} = \frac{U_{mbx}}{I_{mbx}} \Big _{U_{mbux}=0}$	- входний опір ЕТ, Ом;
	$h_{12} = \frac{U_{mbx}}{U_{mbux}} \Big _{I_{mbx}=0}$	- коефіцієнт зворотного зв'язку ЕТ за напругою;
	$h_{21} = \frac{I_{mbux}}{I_{mbx}} \Big _{U_{mbux}=0}$	- коефіцієнт передачі струму ЕТ;
	$h_{22} = \frac{I_{mbux}}{U_{mbux}} \Big _{I_{mbx}=0}$	- вихідна провідність ЕТ, Ом.

На відношення парметра до відповідної схеми включення ЕТ вказують індекси: "Б" - ССБ, "Е" - ССЕ, "К" - ССК.

За рівнянням /3.50/ не рис. 3.35 зображена формальна еквівалентна схема ЕТ в системі h - параметрів.

Оскільки h - параметри належать до одинів з гібридними характеристиками системи, то вони добре узгоджені з характеристиками, легко можуть бути визначені з останніх. З цією метою в системі /3.50/ малі амплітуди U_{mbx} , U_{mbux} , I_{mbx} , I_{mbux} треба заміни-

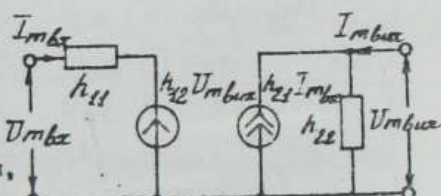


Рис. 3.35. Формальна еквівалентна схема ЕТ в системі h - параметрів

ти приростами $\Delta U_{\delta x}$, $\Delta U_{\delta u}$, $\Delta I_{\delta x}$, $\Delta I_{\delta u}$ систему рівнянь:

$$\begin{cases} \Delta U_{\delta x} = h_{11} \Delta I_{\delta x} + h_{12} \Delta U_{\delta u}, \\ \Delta I_{\delta u} = h_{21} \Delta I_{\delta x} + h_{22} \Delta U_{\delta u}. \end{cases} \quad /3.51/$$

з якої аналогічним чином можна знайти h - параметри, фік-
сувши той чи інший аргумент $/\Delta I_{\delta x} = 0$, тобто $I_{\delta x} = \text{const}$,
 $\Delta U_{\delta u} = 0$, тобто $U_{\delta u} = \text{const}$.

Для прикладу знайдемо

h - параметри у схемі зі спі-
льним емітером, використовуючи
статичні характеристики цієї схе-
ми.

Параметри h_{11E} та
 h_{12E} знаходять за вихідними
характеристиками /рис. 3.36/:

$$h_{11E} = \frac{\Delta U_{\delta E}}{\Delta I_B} \Big|_{U_{KE} = \text{const}} =$$

$$= \frac{U_{\delta E}' - U_{\delta E_0}}{I_B' - I_B} \Big|_{U_{KE} = U_{KE_0}};$$

$$h_{12E} = \frac{\Delta U_{\delta E}}{\Delta U_{KE}} \Big|_{I_B = \text{const}} =$$

$$= \frac{U_{\delta E_0} - U_{\delta E''}}{U_{KE_0} - U_{KE}} \Big|_{I_B = I_{B_0}}.$$

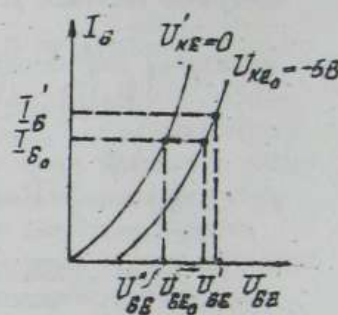


Рис. 3.36. Знайдення параметрів h_{11E} та h_{12E} за вихідними статичними характеристиками БТ в ССЕ

Параметри h_{21E} та h_{22E} знаходять за вихідними
характеристиками /рис. 3.37/:

$$h_{21E} = \frac{\Delta I_K}{\Delta I_B} \Big|_{U_{KE} = \text{const}} = - \frac{I_K - I_{K_0}}{I_B - I_{B_0}} \Big|_{U_{KE} = U_{KE_0}};$$

$$h_{22E} = \frac{\Delta I_K}{\Delta U_{KE}} \Big|_{I_B = \text{const}} = - \frac{I_K'' - I_{K_0}}{U_{KE}'' - U_{KE_0}} \Big|_{I_B = I_{B_0}}.$$

Для правильного знаходження h -параметрів необхідно, щоб величини $U_{KE0} / -5V$ та I_{B0} і для вхідних, і для вихідних характеристик бралися однаковими.

Знак "-" в формулі для знаходження h_{11E} береться тому, що напрям струму I_K у транзисторі протилежний до напряму струму I_{B0} у чотириполюснику.

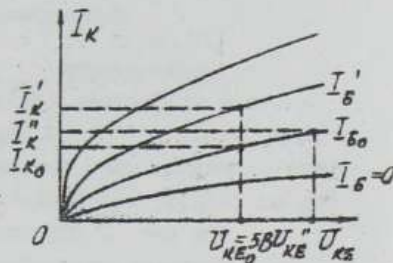


Рис. 3.37. Знаходження параметрів h_{11E} та h_{22E} за вихідними статичними характеристиками БТ в ССЕ

Зв'язок між h -параметрами для різних схем включення БТ

На практиці часто виникають задачі визначення параметрів БТ в заданій схемі включення за відомими параметрами з іншої схеми. З цією метою використовують наступну таблицю перерахунку.

Таблиця 3.4

Схема	СВ	СЕ	СК
СВ	$\begin{bmatrix} h_{11B} & h_{12B} \\ h_{21B} & h_{22B} \end{bmatrix}$	$\frac{1}{1-h_{21E}-h_{12E}} \begin{bmatrix} h_{11E} & \Delta h_E - h_{11E} \\ h_{21E} & h_{12E} \end{bmatrix}$	$\frac{1}{1-h_{21K}-1} \begin{bmatrix} h_{11K} & 1+h_{12K} \\ h_{21K} & h_{12K} \end{bmatrix}$
СЕ	$\frac{1}{1+h_{21E}-h_{12E}} \begin{bmatrix} h_{11E} & \Delta h_E - h_{11E} \\ h_{21E} & h_{12E} \end{bmatrix}$	$\begin{bmatrix} h_{11E} & h_{12E} \\ h_{21E} & h_{12E} \end{bmatrix}$	$\begin{bmatrix} h_{11E} & 1 \\ -(1+h_{11E}) & h_{22E} \end{bmatrix}$
СК	$\frac{1}{h_{21K}(1+h_{11K})-h_{12K}} \begin{bmatrix} -h_{11K} & -(h_{21K}-\Delta h_K) \\ h_{11K} & -h_{12K} \end{bmatrix}$	$\begin{bmatrix} h_{11K} & 1-h_{12K} \\ -(1+h_{11K}) & h_{22K} \end{bmatrix}$	$\begin{bmatrix} h_{11K} & h_{12K} \\ h_{21K} & h_{12K} \end{bmatrix}$

В даній таблиці $\Delta h_E = h_{11E}h_{22E} - h_{12E}h_{21E}$;

$\Delta h_5 = h_{11E}h_{22E} - h_{21E}h_{12E}$; $\Delta h_K = h_{11K}h_{22K} - h_{12K}h_{21K}$.

3.2.7. Фізичні параметри та еквівалентні схеми біполярних транзисторів

Застосування h -параметрів супроводжується іноді значними труднощами, оскільки можні схеми включення ЕТ відповідають своїм h -параметрами. Значно простіше при аналізі транзисторних схем використовувати фізичні еквівалентні схеми транзисторів, які містять у собі фізичні (реальні) параметри ЕТ.

На рис. 3.38 показано Т-подібну фізичну еквівалентну схему транзистора зі спільною базою (для низьких частот).

На схемі рис. 3.38:

$$\gamma_E = \frac{d U_{EB}}{d I_E} \quad |_{U_{KB} = \text{const}} \quad \text{диференційний опір ЕП;}$$

$$\gamma_K = \frac{d U_{KB}}{d I_K} \quad |_{I_E = \text{const}} \quad \text{диференційний опір КП;}$$

γ_B — опір бази;

$$\alpha = \frac{d I_K}{d I_E} \quad |_{U_{KB} = \text{const}} \quad \text{диференційний коефіцієнт передачі емітерного струму.}$$

Опір γ_B дієрвінок сумі розподіленого опору бази та дифузійного опору:

$$\gamma_B = \gamma'_B + \gamma''_B.$$

Розподілений опір бази γ'_B відображає опір активної області бази, який значно більший, ніж опори ЕП та емітерної області. Значення цього опору зростає зі зменшенням ширини бази, тому що зменшується ймовірність рекомбінації в базі, і, отже, основна частина струму бази I_{Brek} також зменшується. Частина входної напруги, прикладена до ЕП, падає на опорі γ'_B , і це знижує ефективність управління струмом у транзисторі.

Дифузійний опір бази γ''_B відображає вплив колекторної напруги на ширину бази внаслідок зміни товщини КП. Нехай, наприклад, напруга на колекторі збільшилась. Це приводить до зменшення ширини бази. Оскільки напруга U_{EB} не змінилась,

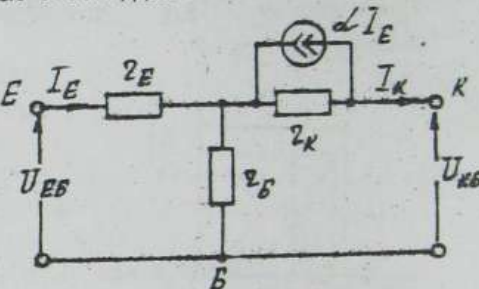


Рис. 3.38. Т-подібна еквівалентна схема ЕТ у ССВ

то струм емітера має залишатися постійним. Проте він збільшується внаслідок зростання градієнта концентрації дірок у базі /див. рис. 3.19/. Для збереження $I_E = \text{const}$ потрібно зменшити концентрацію дірок P_{BE} біля ЕП, тобто зменшити напругу на ЕП. Щоб напруга на ЕП зменшилась при незмінній напрузі U_{EB} , опір бази має зрости за діякту величину γ_B'' /див. рис. 3.39/.

Джерело струму відображає підсилювальні властивості БТ.

Для ССЕ Т-подібна еквівалентна схема БТ має вигляд, показаний на рис. 3.39. Ця схема також досить точно описує властивості приладу в діапазоні низьких частот.

Значна перевага є Т-подібних фізичних еквівалентних схем залежить від обраного режиму транзистора і не залежить від способу його включення.

Безпосереднє вимірювання фізичних параметрів БТ неможливе, бо точка з'єднання опорів γ_B , γ_E і γ_K знаходиться всередині кристала напівпровідника. Тому ці параметри розраховуються за допомогою формул, які зв'язують фізичні параметри з h -параметрами БТ /табл. 3.5/.

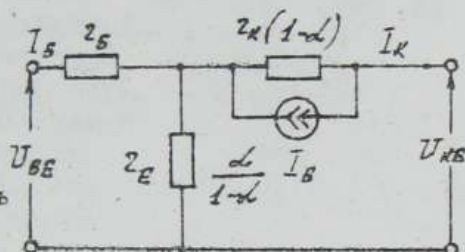


Рис. 3.39. Т-подібна еквівалентна схема БТ у ССЕ

Таблиця 3.5

Параметр	ССВ	ССЕ	ССК
h_{11}	$\gamma_E + \gamma_B(1-d)$	$\gamma_B + \frac{\gamma_E}{1-d}$	$\gamma_B + \frac{\gamma_E}{1-d}$
h_{12}	$\frac{\gamma_B}{\gamma_K}$	$\frac{\gamma_E}{\gamma_K(1-d)}$	1
h_{21}	$-d$	$\frac{d}{1-d}$	$\frac{1}{1-d}$
h_{22}	$\frac{1}{\gamma_E}$	$\frac{1}{\gamma_K(1-d)}$	$\frac{1}{\gamma_K(1-d)}$

Користуючись табл. 3.5, можна записати

$$\alpha = -h_{21E} = \frac{h_{21E}}{1 + h_{21E}} ;$$

$$\gamma_E = h_{45} - \frac{h_{125}(1 + h_{21E})}{h_{22E}} = \frac{h_{12E}}{h_{22E}} ;$$

$$\gamma_K = \frac{1}{h_{22E}} = \frac{1 + h_{21E}}{h_{22E}} ;$$

$$\gamma_B = \gamma'_B + \gamma''_B = \frac{h_{21E}}{h_{22E}} = h_{11E} - \frac{h_{12E}(1 + h_{21E})}{h_{22E}} .$$

Фізичні параметри ЕТ залежать від режиму роботи і температури. Розглянемо ці залежності, що ґрунтуються на наступних формулах [1] :

$$\gamma_E = \frac{\kappa T}{q I_E} \quad (\text{для } T=300K \quad \gamma_E = \frac{0.026}{I_E}); \quad /3.52/$$

$$\gamma_B = \frac{\gamma_E}{1-\alpha} ; \quad /3.53/$$

$$\gamma_K = \frac{w \gamma_{KB}}{\delta_{K\eta} (1-\alpha) I_E} ; \quad /3.54/$$

$$\alpha = 1 - \frac{w^2}{2 L_p^2} ; \quad /3.55/$$

$$I_{KB0} = q \prod_{k=1}^n \left(\frac{D_{nk} n_{pk}}{L_{nk}} + \frac{\gamma_{nk} n_{pe}}{L_{ne}} + \frac{w D_{pb} n_{ps}}{L_{pb}^2} \right). \quad /3.56/$$

Залежність фізичних параметрів ЕТ від емітерного струму показана на рис. 3.40.

Залежність опору ЕІ γ_E від струму I_E описано формулою /3.52/. Спір γ_K також обернено пропорційний до I_E . При збільшенні I_E опір активної області бази зменшується, і сумарний опір бази визначається здебільшого пасивними областями.

Залежність $\alpha = f(I_E)$

відома з попереднього матеріалу. Щоб зміна α при зміні струму I_E була помітніша, на графіку подається величина $1/(1-\alpha)$.

Залежність фізичних параметрів від напруги U_{KB} показана на рис. 3.4I. Опір ЕП γ_E практично не залежить від напруги U_{KB} . Опір КП γ_K істотно залежить від напруги U_{KB} /див. формулу /3.54//. З цим збільшенням γ_K спочатку зростає пропорційно до $\sqrt{U_{KB}}$ /товщина КП δ_{KP} пропорційна до $\sqrt{U_{KB}}$ /, а потім зменшується внаслідок ударної іонізації і множення носіїв у запірному шарі, а також за рахунок процесів поверхневого витоку. Залежність опору γ_B від напруги U_{KB} зумовлюється модуляцією активної ширини бази: при збільшенні U_{KB} зменшується ширина бази, зменшується ймовірність рекомбінації неосновних носіїв і зменшується базовий струм, тобто дето зростає базовий опір γ_B . Залежність $\alpha = f(U_{KB})$ відома з попереднього матеріалу.

Залежність фізичних параметрів БТ від температури показана на рис. 3.42.

Опір ЕП γ_E згідно з формулами /3.52/ лінійно залежить від температури. Коефіцієнт передачі струму α збільшується при нагріванні, оскільки час життя носіїв зростає при збільшенні температури /і тому зростає дифузійна довжина дірок у базі L_{P_B} і збільшується коефіцієнт переносу S - див.

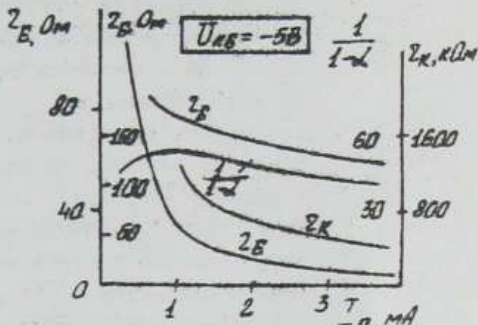


Рис. 3.40. Залежність фізичних параметрів БТ від емітерного струму

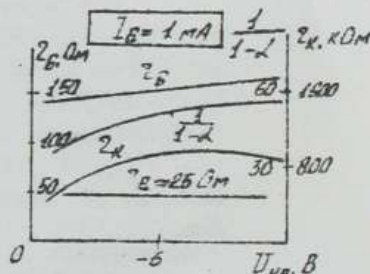


Рис. 3.41. Залежність фізичних параметрів БТ від колекторної напруги

формулу /3.7//.

Опір γ_K спочатку при підвищенні температури зростає згідно з формулою /3.54/, що забезпечується збільшенням α , а потім дещо зменшується внаслідок поверхневого витоку і ударної іонізації. Опір бази γ_B спочатку зростає, оскільки зростає середній час життя носіїв, і, отже, зменшується струм I_B . Згодом, при кімнатній температурі за рахунок процесів термогенерації у слабколегованій базі збільшується концентрація основних носіїв, і опір бази стає меншим.

3.3. РОБОТА БІПОЛЯРНОГО ТРАНЗИСТОРА У ДИНАМІЧНОМУ РЕЖИМІ

При роботі БТ в різних електронних схемах до його входного кола надходять сигнали у формі змінної напруги, яка змінює входний та вихідний струми приладу. В цьому разі БТ працює в динамічному режимі: зміна струму колектора I_K у транзисторі відбувається внаслідок одночасної зміни входного струму I_E або I_B і напруги на колекторі U_{Kb} або U_{Ke} .

Основним різновидом динамічного режиму БТ є підсилювальний режим.

3.3.1. Принцип дії підсилювального каскаду на біполлярному транзисторі

Схема зі спільною базою

Схема транзисторного підсилювача зі спільною базою показана на рис. 3.43. При відсутності входного сигналу $U_{B1}=0$ у входному колі БТ діє напруга спокою U_{Ebo} , створена за рахунок джерела E_E , і протікає струм I_{Eo} - емітерний струм спокою. У вихідному колі діють відповідно напруга U_{Kbo} /від джерела E_K / і струм I_{Ko} .

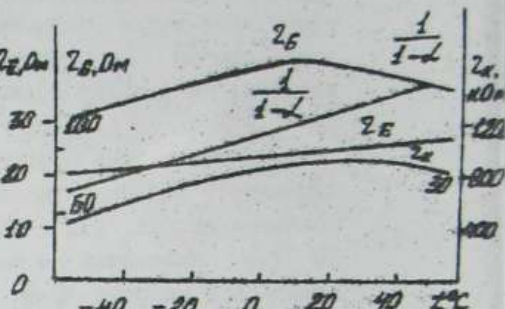


Рис. 3.42. Залежність фізичних параметрів БТ від температури

$$\text{У колі бази } U_{KB0} = E_K - I_{KB} R_K.$$

Початковий режим БТ - активний.

При надходженні на вхід схеми сигналу

$$U_{\delta x} = U_{m\delta x} \sin \omega t$$

починається динамічний режим роботи БТ. Практично вся напруга $U_{\delta x}$ виділяється на резисторі R_L , і тоді наступе U_{EB} змінюватиметься за законом

$$U_{EB} = E_E + U_{m\delta x} \sin \omega t.$$

Часові діаграми напруг і струмів каскаду показано на рис. 3.44.

Оскільки БТ працює в активному режимі, разом зі зміною U_{EB} змінюватимуться емітерний I_E , колекторний I_K струми, а також напруга на колекторі U_{KB} /рис. 3.44/. Колекторна напруга змінюється за законом

$$U_{KB} = E_K - I_{KB} R_K + R_K I_{mK} \sin \omega t.$$

З діаграм видно, що вхідна $U_{\delta x}$ і вихідна $U_{\delta x}$ напруги схеми змінюються в фазі одна відносно другої /каскад зі спільнотою базою не інвертує вхідного сигналу/. Амплітуда $U_{m\delta x}$ може бути більша за амплітуду вхідного сигналу, якщо відповідно вибрати величину колекторного опору R_K , тобто в цьому випадку каскад підсилює напругу. Протягом підсилення полягає в перетворенні енергії джерела живлення E_K в енергію вихідного сигналу. При цьому транзистор відіграє роль свсерідного регулятора, який управляет струмом джерела E_K . Величина і форма вихідної напруги залежать не тільки від величини і форми вхідного сигналу, величини R_K , але й від вибору положення початкової робочої точки на характеристиках БТ / U_{EB0} ,

I_{EB0} , I_{KB0} , I_{KO} /.

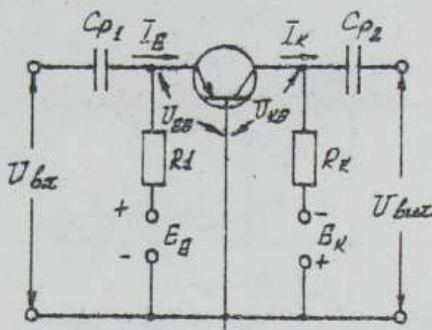


Рис. 3.43. Підсилювальний каскад зі спільною базою

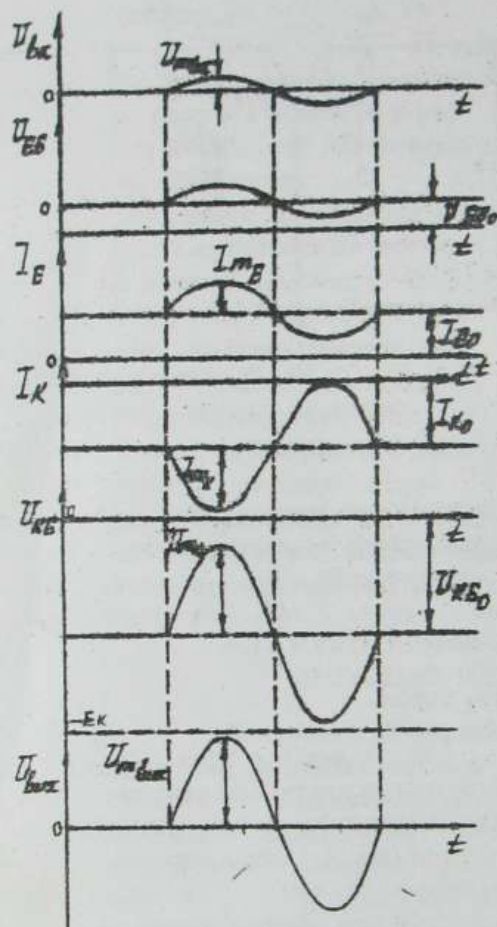


Рис. 3.44. Часові діаграми напруг і струмів транзисторного каскаду зі спільною базою

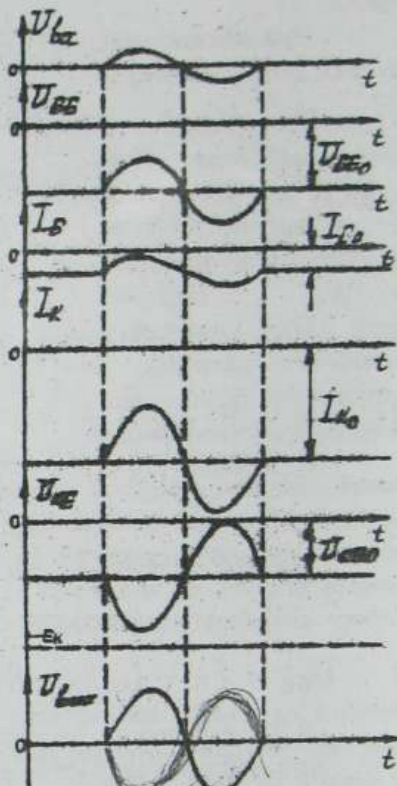


Рис. 3.46. Часові діаграми напруг і струмів транзисторного каскаду зі спільним емітером

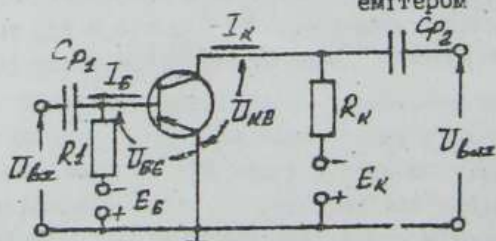


Рис. 3.45. Підсилювальний каскад зі спільним емітером

Схема зі спільним емітером

Схема транзисторного підсилювача зі спільним емітером показана на рис. 3.45, а часові діаграми пристроя - на рис.3.46. Режим спокою забезпечується двома джерелами - E_B /напруга U_{BE0} і струм I_{B0} / і E_K /напруга U_{KE0} і струм I_{K0} /. Напруга колектора

$$U_{KE0} = E_K - I_{K0}R_K.$$

У режимі підсилення вхідного сигналу під час додатного півперіоду вхідної напруги пряма напруга ЕІ транзистора зменшується, струми бази I_B та колектора I_K також зменшуються, що викликає збільшення напруги колектора U_{KE} . Якщо робота відбувається на лінійній ділянці характеристики транзистора, то форма змінних складових струмів бази і колектора збігаються з формою вхідної напруги, а зміна напруги на колекторі, зумовлена змінною складовою колекторного струму, є протифазною відносно вхідної напруги. Отже, схема підсилювального каскаду на ЕІ зі спільним емітером є інвертуючою схемою. Як випливає з попереднього матеріалу, схема рис. 3.45 здатна підсилювати не лише напругу, але й струм.

3.3.2. Способи забезпечення режиму спокою транзисторного каскаду

Режим спокою у вхідному колі транзисторного каскаду може забезпечуватися не обов'язково за допомогою окремого джерела живлення E_E гбо E_B . Частіше у каскадах застосовується лише одне джерело живлення - у колекторному колі. У таких каскадах замість вхідного джерела ЕІС використовуються спеціальні ланцюжки автоматичного зміщення - пасивні ланцюжки, на яких протікаючий від джерела колекторної напруги E_K струм створює падіння напруг, що забезпечує потрібне положення робочих точок на характеристиках транзистора в режимі спокою.

Основною вимогою до каскадів з автоматичним зміщенням є забезпечення сталості обраного режиму спокою при зміні температури або зміні транзистора. Розглянемо деякі приклади.

Схема з фіксованим струмом бази

Схему показано на рис. 3.47. Зміщення ЕІ у транзисторі

цього каскаду здійснюється за рахунок струму бази спокою

I_{B0} , який протікає від джерела E_k через резистор R_1 . При цьому напруга на ЕП U_{BE0} визначається входним опором БТ. Опір резистора R_1 дорівнює

$$R_1 = \frac{E_k - U_{BE0}}{I_{B0}} \approx$$

$$\approx \frac{E_k}{I_{B0}}, /3.57/$$

тобто можна вважати, що

$$I_{B0} = \frac{E_k}{R_1}.$$

/3.58/

Каскад рис. 3.47 називається каскадом з фіксованим струмом бази завдяки формулі /3.57/, тобто струм бази I_{B0} не залежить від параметрів транзистора.

Недоліком каскаду рис. 3.47 є те, що в ньому важко встановити обраний режим спокою при застосуванні транзистора з великим розкидом параметра h_{21E} без зміни опору R_1 . Наприклад, у транзистора ГТ 311 є промисловий розкид параметра h_{21E} складає від 50 до 200. Оскільки струм I_{B0} не залежить від властивостей БТ, то при зміні транзистора струм колектора

$I_K = h_{21E} I_B + (1+h_{21E}) I_{K0}$ може змінюватись в 4 рази, і початкова робоча точка може вийти з області активного режиму на термістниках, що для підсилювача небажано. Другим суттєвим недоліком каскаду є те, що в його схемі не враховується температурний діапазон характеристик і параметрів БТ, завдяки якому

струм I_{K0} при збільшенні температури зростає.

Схема з фіксованим потенціалом бази

Схему показано на рис. 3.48. Потрібний режим спокою транзистора забезпечується фіксованою напругою на базі, що утворюється за допомогою подільника напруги на резисторах R_1 та R_2 .

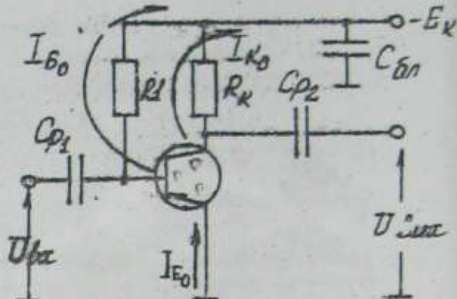


Рис. 3.47. Транзисторний каскад з фіксованим струмом бази

Опір R_2 дорівнює

$$R_2 = \frac{U_{BE0}}{I_n}, \quad /3.59/$$

де I_n - струм подільника напруги.

Звичайно $I_n = 1/3 - 5/I_{B0}$

Опір R_1 можна розрахувати за формуллою

$$R_1 = \frac{|E_k| - |U_{BE0}|}{I_n + I_{B0}}. \quad /3.60/$$

При $I_n \gg I_{B0}$ можна вважати, що напруга

$$U_{BE0} = I_n R_2 = \frac{E_k}{R_1 + R_2} R_2 \quad /3.61/$$

не залежить від властивостей транзистора. Тому схема рис. 3.48 називається схемою з фіксованим потенціалом бази. Суттєвий недолік даної схеми - температурний дрейф колекторного струму - вимагає застосування спеціальних заходів температурної стабілізації.

Схема з температурною стабілізацією

у емітерному колі

Схему показано на рис. 3.49. В ній з метою стабілізації емітерного /колекторного/струму при зміні температури використовується резистор негативного зворотного зв'язку за струмом R_3 . Для схеми рис. 3.49 справедлива рівність

$$|U_{BE0}| = |U_{R_2}| - |I_{E0}R_3|. \quad /3.62/$$

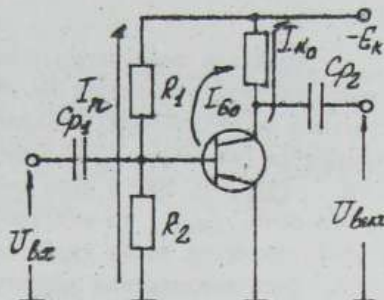


Рис. 3.48. Транзисторний каскад з фіксованим потенціалом бази

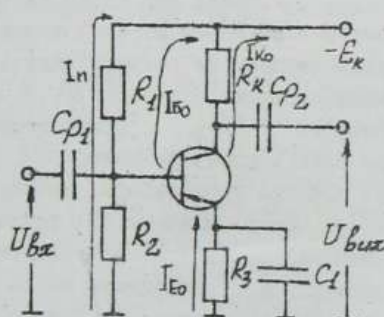


Рис. 3.49. Транзисторний каскад з температурною стабілізацією

Оскільки температурні зміни опорів R_1 та R_2 не значні, то падіння напруги на опорі R_2 при зміні температури практично не змінюється. Збільшення струму I_{E0} при збільшенні температури поєднується за формулой /3.62/ до зменшення напруги на ЕП U_{BE0} . Це, в свою чергу, приводить до зменшення струмів бази I_B та колектора I_K . Таким чином, автоматично стабілізується також струм емітера I_E .

Величина падіння напруги на резисторі зворотного зв'язку R_3 вибирається в межах $U_{R3} = (0,1 - 0,25) E_K$.
Формули для розрахунку опорів R_1 , R_2 і R_3 мають вигляд:

$$R_3 = \frac{(0,1 - 0,25) E_K}{I_{E0}} ; \quad /3.63/$$

$$R_2 = \frac{U_{R2}}{I_n} = \frac{U_{R3} + |U_{BE0}|}{I_n} ; \quad /3.64/$$

$$R_1 = \frac{|E_K| - |U_{R2}|}{I_n + I_{B0}} . \quad /3.65/$$

Оскільки негативний зворотний зв'язок за змінною складовою приводить до зменшення коефіцієнта підсилення каскаду, то з метою усунення цього зв'язку резистор R_3 шунтується конденсатором C_1 .

Схема каскаду зі спільною базою та автоматичним зміщенням робочої точки

У схемі рис. 3.50 автоматичне зміщення робочої точки здійснюється за рахунок подільника напруги R_2 і R_3 . Напруга U_{R3} , прикладена до бази і через резистор R_1 до емітера транзистора, забезпечує пряме зміщення ЕП, тобто активний режим транзистора. Резистор R_L забезпечує подачу вхідного сигналу на емітер, конденсатор C_L слугує для усунення негативного зворотного зв'язку за змінною складовою.

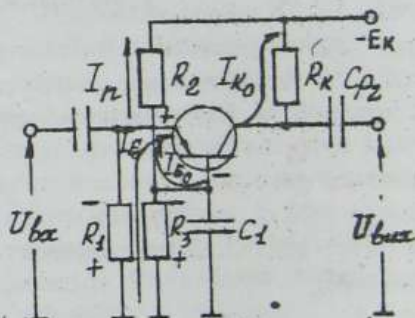


Рис. 3.50. Транзисторний каскад зі спільною базою

Розрахунок R_1, R_2 та R_3 здійснюється наступним чином. Для обраної робочої точки режиму спокою /вибирається на характеристиках БТ/ спочатку визначається струм $I_{B0} = I_{E0} - I_{K0}$ і струм подільника напруги $I_n = 1/3-5/I_{B0}$. Для емітерного кола другий закон Кірхгофа має вигляд

$$U_{R1} + U_{E60} - U_{R3} = 0.$$

Для підсилювачів напруги $U_{R3} = (0,1-0,25) E_K$.

Тоді

$$R_1 = \frac{U_{R1}}{I_{E0}} = \frac{U_{R3} - U_{E60}}{I_{E0}}, \quad /3.66/$$

$$R_2 = \frac{|E_K| - |U_{R3}|}{I_n + I_{B0}}, \quad /3.67/$$

$$R_3 = \frac{U_{R3}}{I_n} = \frac{(0,1-0,25)E_K}{I_n}, \quad /3.68/$$

Оцінка транзисторних каскадів з точки зору температурної нестабільноти

Якість підсилювача визначається вибором положення початкової робочої точки /робочої точки режиму спокою/, а також II стабільністю при зміні температури.

Для підсилювального каскаду з температурною стабілізацією /рис. 3.49/ температурна зміна колекторного струму складає

[1] :

$$\Delta I_K = S \left[\frac{\Delta U_{BE}}{R_1 + R_2} + \Delta I_{K0} + \frac{\Delta h_{21E}}{h_{21E}} (I_B + I_{K0}) \right], \quad /3.69/$$

де $S = h_{21E} \left[1 + \frac{R_3}{R_3 + R_B} h_{21E} \right]^{-1}$ - коефіцієнт нестабільноти колекторного струму;

$$R_B = \frac{R_1 R_2}{R_1 + R_2}.$$

Якщо $R_3 = 0$, то схема рис. 3.49 перетворюється в схему з фіксованим потенціалом бази /рис. 3.48/, і коефіцієнт $S = h_{21E}$. При $R_3 \gg R_B$ коефіцієнт $S = \frac{h_{21E}}{1 + h_{21E}} = h_{21E}$.

Таким чином, в залежності від співвідношення між R_3 та R_B значення коефіцієнта температурної нестабільності змінюється від h_{21B} до h_{21E} .

Температурна зміна струму колектора тим більша, чим більший коефіцієнт S . Тому умова $R_3 \gg R_B$ є необхідною. Проте зменшення величини R_B небажане, тому що воно приводить до зменшення вхідного опору транзисторного каскаду. Тому подільник напруги в базовому колі вибирається з умови, щоб коефіцієнт температурної нестабільності дорівнював $S = 3-5$.

3.3.3. Динамічні характеристики біполярного транзистора та Іх використання

При включенні навантаження до колекторного кола транзистора зміна струму колектора викликається одночасовою дією зміни струму бази і напруги на колекторі. В цьому режимі роботи для аналізу властивостей ЕТ недостатньо мати його статичні характеристики, оскільки вони відображають зміну лише одного параметра. Тому для опису властивостей транзистора, а також для розрахунку параметрів транзисторного каскаду на сім'ях статичних характеристик будуть додаткові характеристики, які називаються динамічними, або навантажувальними. Розглянемо Іх.

Вихідна навантажувальна характеристика

Для каскаду зі спільним емітером рівняння вихідного кола /див. п.3.3.1/

$$U_{KE} = E_K - I_K R_K . \quad /3.70/$$

Звідси

$$I_K = \frac{E_K - U_{KE}}{R_K} . \quad /3.71/$$

Формула /3.71/ – це рівняння вихідної навантажувальної прямої транзисторного каскаду зі спільним емітером /рис. 3.45/. Цю характеристику будують на сім'ї вихідних статичних характеристик ССЕ /рис. 3.51/ за двома точками:

1/ $I_K = 0; U_{KE} = E_K;$

2/ $U_{KE} = 0; I_K = \frac{E_K}{R_K} .$

Точка перетину навантажувальної прямої із статичною характеристикою, яка була знята при з'єднанні струмі бази в режимі спокою / I_{B0} /, визначає вихідні координати режиму спокою транзисторного каскаду / U_{KE0} , I_{K0} /. При надходженні на вхід каскаду змінної напруги сигналу змінюється струм бази відносно значення I_{B0} , і робоча точка рухається на сім'ї характеристик вуздовож навантажувальної прямої. Це означає, що динамічна характеристика повністю визначає роботу транзисторного каскаду у динамічному режимі — у режимі підсилення вхідної напруги.

Для транзисторного каскаду зі спільною базою рівніння вихідної навантажувальної прямої набирає вигляду

$$I_K = \frac{E_K - U_{KB}}{R_K} . \quad /3.72/$$

Лінімічна вихідна характеристика каскаду зі спільною базою будеться аналогічним чином за рівнянням /3.72/.

Вхідна навантажувальна характеристика

Вхідна навантажувальна характеристика може бути побудована шляхом перенесення точок вихідної характеристики /прямої/ на сім'ю статичних вихідних характеристик і наступного з'єднання цих точок у плавну монотонну криву. Але цей спосіб рідко вживається в інженерній практиці, тому що у довідниках з'явлена лише дві вхідні статичні характеристики: — при нульовій і при ненульовій колекторних напругах. Тому з задовільном для практики точністю за вхідну навантажувальну криву можна прийняти вхідну статичну характеристику, яка знайдеться при ненульовій колекторній напрузі. Робоча точка спокою на вхідній на-

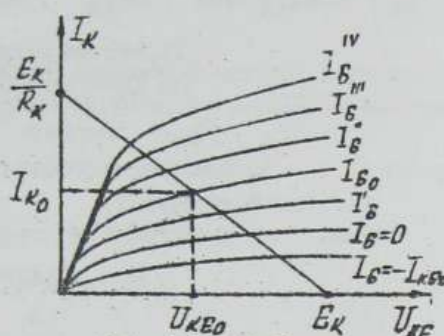


Рис. 3.51. Побудова навантажувальної прямої на сім'ї вихідних статичних характеристик ССЕ

навантажувальній кривій має координати: струм бази спокою I_{B0} і напругу бази U_{BE0} , яка викликає цей струм.

Параметри режиму підсилення та їх розрахунок за динамічними характеристиками транзисторного каскаду

До основних параметрів режиму підсилення транзисторного каскаду належать:

коefіцієнт підсилення за струмом

$$K_I = \frac{I_{m\beta x}}{I_{m\beta x}} ; \quad /3.73/$$

коefіцієнт підсилення за напругою

$$K_U = \frac{U_{m\beta x}}{U_{m\beta x}} ; \quad /3.74/$$

коefіцієнт підсилення за потужністю

$$K_P = \frac{P_{m\beta x}}{P_{m\beta x}} = K_U \cdot K_I ; \quad /3.75/$$

вхідний опір

$$R_{m\beta x} = \frac{U_{m\beta x}}{I_{m\beta x}} ; \quad /3.76/$$

вихідний опір

$$R_{m\beta x} = \frac{U_{m\beta x}}{I_{m\beta x}} . \quad /3.77/$$

Задача знаходження цих параметрів за динамічними характеристиками зводиться до знаходження вхідних і вихідних амплітуд змінних струмів і напруг транзисторного каскаду, які входять до формул /3.73/ - /3.77/.

Суть графоаналітичного способу визначення параметрів режиму підсилення каскаду за навантажувальними характеристиками полягає в наступному /на прикладі каскаду зі спільним емітером/.

I. На сім'ї вихідних статичних характеристик $I_K = f(U_{KE}) / I_B = \text{const}$ будеться вихідна навантажувальна пряма. Для каскадів рис. 3.47 та рис. 3.48 ця пряма будеться за формуловою /3.71/. Для каскаду з температурною стабілізацією

рис. 3.49 помітно відрізняється динамічні вихідні характеристики для постійного та змінного струмів /рис. 3.52/ внаслідок неякості емітерному колі БГ ланцюжка R_3, C_1 .

Постійна складова струму емітера протікає через резистор R_3 , отже,

$$U_{KE} = E_K - I_{K_0} R_K - I_{E_0} R_3, \\ \text{або, оскільки у активному режимі } I_{E_0} \approx I_{K_0},$$

$$U_{KE} = E_K - I_{K_0} (R_K + R_3). \quad /3.78/$$

Тому рівняння вихідної навантажувальної прямої для постійної складової струму транзистора має вигляд /пряма I на рис. 3.52/

$$I_{K_0} = \frac{E_K - U_{KE}}{R_K + R_3}. \quad /3.79/$$

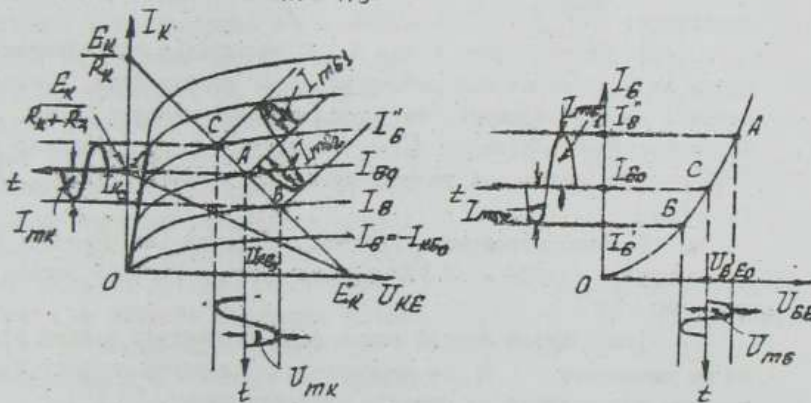


Рис. 3.52. До графоаналітичного визначення параметрів режиму підсилення транзисторного каскаду

Змінна складова струму I_E через резистор R_3 не протікає. Тому рівняння вихідної навантажувальної характеристики для змінного струму має вигляд

$$I_{K_0} \approx \frac{E_K - U_{KE_0}}{R_K}, \quad /3.80/$$

тобто повторює рівняння /3.71/. Для каскаду з температурною стабілізацією розрахунок параметрів підсилювального режиму вимагає застосування навантажувальної прямої саме для змінного струму за рівнянням /3.80/ - пряма 2 на рис. 3.52.

2. Будеться вхідна навантажувальна характеристика каскаду, яка практично збігається з вхідною характеристикою ЕТ

$$I_b = f(U_{BE}) \quad \text{при } U_{KE} \neq 0 .$$

3. На вхідній і вихідній навантажувальних характеристиках відмічається положення початкової робочої точки режиму спокієм $U_{BE0}, I_{b0}, U_{KE0}, I_{K0}$, яку або здаєть, або вибирає з мірувань проектування.

4. Розглятаючи змінну напругу U_{BE} з амплітудою U_{mb} відносно постійного рівня U_{BE0} , знаходять відповідну зміну струму I_b відносно струму спокієм I_{b0} . Знаходять амплітуду I_{mb} /у разі потреби, усереднюючи верхню й низню амплітуди: $I_{mb} = \frac{I_{mb1} + I_{mb2}}{2}$.

5. Перенесенням точок В і С на вихідну навантажувальну пряму визначають на ній робочу ділянку струму баси, а також відповідні до цієї ділянки зміни колекторної напруги U_{KE} відносно постійного рівня U_{KE0} і струму I_K відносно рівня I_{K0} . За допомогою усережнення визначають амплітуди U_{mk} та I_{mk} .

6. Експресивно використовуючи зазначені амплітуди $U_{mb}, I_{mb}, U_{mk}, I_{mk}$, за формулами /3.73/ - /3.77/ розраховують параметри режиму підсилення.

Існує також спосіб визначення параметрів режиму підсилення за допомогою h - параметрів. Для найпростішого тринзисторного підсилювача на низьких частотах маємо [1] :

$$K_U = - \frac{h_{21} R_H}{h_{11} + R_H (h_{11} h_{22} - h_{12} h_{21})} ;$$

$$K_I = \frac{h_{21}}{1 + h_{22} R_H} ;$$

$$R_{\delta u} = \frac{h_{11} + R_H (h_{11} h_{22} - h_{12} h_{21})}{1 + h_{22} R_H} ;$$

$$R_{\delta u k} = \frac{h_{11} + R_F}{h_{11} h_{22} - h_{12} h_{21} + h_{22} R_F} .$$

В наведених формулах

R_H - опір навантаження ;
 R_T - опір джерела токуного сигналу.

3.3.4. Частотні властивості біполярних транзисторів

Залежність параметрів ЕТ від частоти зумовлена інерцією процесів дифузії неосновних носіїв у базі, а також ефектом симностей переходів і розподіленого опору бази. Ці обставини обмежують частотний діапазон транзисторів. Наприклад, робочі частоти сплавних транзисторів не перевищують 20-30 МГц.

На низьких частотах період зміни напруги на ЕІ значно більший за час прольоту неосновних носіїв через базу. Внаслідок цього градієнти концентрацій носіїв у базі біля емітера і колектора змінюються одночасно, і тому струми I_E , I_B та I_C син-фазні, а коефіцієнти передачі струму h_{21B} і h_{21E} є дійсними величинами.

При зростанні частоти період зміни напруги на ЕІ зменшується і стає сумірним з часом дифузії неосновних носіїв через базу. Це приводить до того, що струм колектора I_C відставає від струму емітера I_E за фазовою /рис. 3.53/. Крім того, оскільки впродовж півперіоду прямої напруги на ЕІ максимальний згусток інжектованих до бази неосновних носіїв не встигає досягнути колектора, то наступного півперіоду концентрація них носіїв і градієнт їх концентрації біля емітера будуть меншими, ніж будь-де в іншому місці бази. У базі виникає градієнт концентрації неосновних носіїв, який викликає їх рух у бік емітера і зменшення колекторного струму /рис. 3.53/. Отже, на високих частотах коефіцієнти передачі струму h_{21B} та

h_{21E} набирають комплексного характеру і зменшуються за модулем при збільшенні частоти.

Для ССЕ коефіцієнт передачі струму емітера

$$h_{21E}(j\omega) = \frac{I_C}{I_E} = |h_{21B}(\omega)| e^{j\varphi_{h_{21B}}(\omega)}, \quad 3.81$$

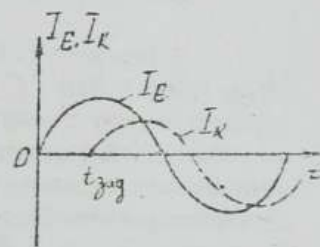


Рис. 3.53. Струм I_E та I_C ЕТ на високих частотах

де $h_{21B}(\omega)$ - комплексний коефіцієнт передачі струму емітера;
 I_E, I_K - комплексні амплітуди струмів емітера і колектора.

Для транзисторів

$$h_{21B}(\omega) = \frac{h_{21B}}{1 + j \frac{\omega}{\omega_{h21B}}} = \frac{h_{21B}}{1 + j \frac{f}{f_{h21B}}}. \quad /3.82/$$

Модуль комплексного коефіцієнта передачі БТ в ССБ

$$|h_{21B}(\omega)| = \frac{h_{21B}}{\sqrt{1 + (f/f_{h21B})^2}}, \quad /3.83/$$

де h_{21B} - значення коефіцієнта передачі струму на низьких частотах.

Аргумент коефіцієнта $h_{21B}(\omega)$

$$\varphi_{h_{21B}} = -\arctg(f/f_{h21B}). \quad /3.84/$$

З формули /3.83/ випливає, що на частоті $f = f_{h21B}$ $|h_{21B}(\omega)| = h_{21B}/\sqrt{2}$. Частота, на якій модуль коефіцієнта передачі струму зменшується в $\sqrt{2}$ раз, називається граничною частотою БТ. З формули /3.84/ видно, що на граничній частоті зсув фаз між вхідним і вихідним струмами дорівнює 45° . Частотні характеристики БТ в ССБ показано на рис. 3.54.

Величина $T_{h21B} = 1/(2\pi f_{h21B})$ називається стадом часу БТ в ССБ, і вона приблизно дорівнює середній тривалості дифузії неосновних носіїв через базу

$$T_{h21B} \approx T_p(1 - h_{21B}), \quad /3.85/$$

де T_p - середня тривалість життя дірок у базі.

Для ССБ коефіцієнт передачі струму бази

$$h_{21E}(\mu) = \frac{I_K}{I_B} = \frac{h_{21E}}{1 + j(f/f_{h21E})}. \quad /3.86/$$

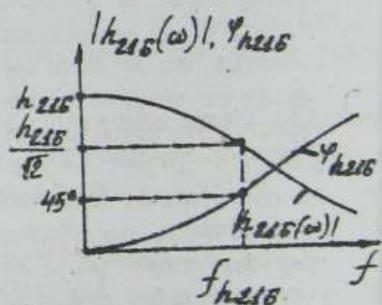


Рис. 3.54. Частотні характеристики БТ у ССБ

Модуль правої частини формули /3.86/

$$|h_{21E}(\omega)| = \frac{h_{21E}}{\sqrt{1 + (f/f_{h_{21E}})^2}} . \quad /3.87/$$

Аргумент

$$\varphi_{h_{21E}} = -\arctg(f/f_{h_{21E}}) . \quad /3.88/$$

Частота $f_{h_{21E}}$ — це гранична частота БТ в ССЕ, при якій модуль комплексного коефіцієнта передачі струму бази зменшується в $\sqrt{2}$ раз.

При цьому граничні частоти транзистора зі спільною базою і спільним емітером мають такий зв'язок :

$$f_{h_{21E}} = (1 - h_{21B}) f_{h_{21B}} \quad /3.89/$$

або

$$f_{h_{21E}} \approx \frac{f_{h_{21B}}}{h_{21E}} . \quad /3.90/$$

З останніх формул випливає, що частотні властивості БТ у схемі зі спільним емітером значно гірші, ніж у схемі зі спільною базою. Для порівняння на рис. 3.55 показано частотні характеристики обох схем включення.

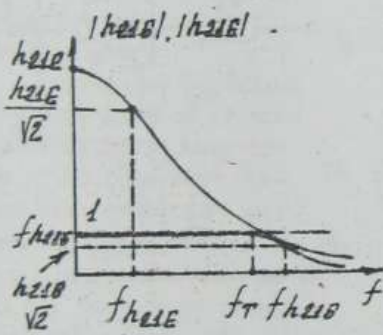


Рис. 3.55. Частотні характеристики БТ в ССЕ та ССВ

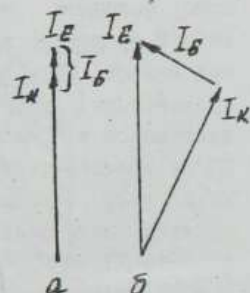


Рис. 3.56. Векторні діаграми, що пояснюють зменшення модуля коефіцієнта передачі струму бази

Причиною різкого зменшення h_{2IE} в ССЕ при збільшенні частоти в порівнянні з ССВ є не тільки зменшення коефіцієнта h_{2IB} , але й насамперед збільшення зсуву фаз між струмами I_E та I_K . На низьких частотах струм I_E , та I_K приблизно збігається за фазою (рис. 3.5C,a/), і струм $I_B = I_E - I_K$ малий. На високих частотах збільшується зсув фаз між струмами I_E та I_K , зростає струм бази I_B (рис. 3.5C,b/), і тому зменшується коефіцієнт передачі h_{2IE} .

З рис. 3.55 видно, що для схеми зі спільним емітером існує так звана частота зрізу f_T , на якій модуль h_{2IE} дорівнює одиниці.

$$f_T = f_{h_{2IE}} \cdot h_{2IE} = f_{h_{2IB}} \cdot h_{2IB}. \quad /3.91/$$

ЕТ має пікаву властивість: при частотах $f > (3-4)f_{h_{2IE}}$ модуль h_{2IE} і частоти, при яких вимірюється модуль h_{2IE} , є величина стала і дорівнює частоті зрізу:

$$|h_{2IE}(\omega)| \cdot f = f_T. \quad /3.92/$$

Вплив ємностей переходів і розподіленого спору бази на частотні властивості транзистора

Фізична еквівалентна схема ЕТ в ССЕ на високих частотах показана на рис. 3.57. На ній враховано вплив бар'єрної ємності МП C_K на роботу транзистора. Дифузійна ємність включеної в прямому напрямі МП не враховується, тому що малий опір γ_E звичайно в десятки тисяч разів менший за опір МП γ_K , і тому опір γ_E шунтує ємність МП до дуже високих частот.

Змінна складова струму, створеного джерелом ΔI_E , розглядується на три вітки: через опір МП γ_K , через

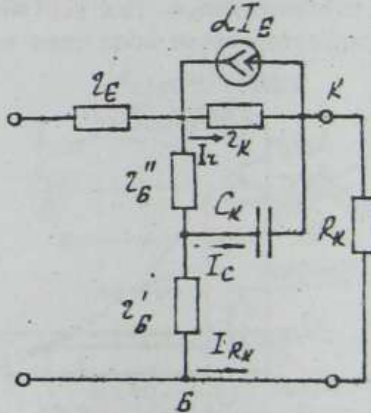


Рис. 3.57. Фізична еквівалентна схема ЕТ зі спільною базою на високих частотах.

бар'єру ємності C_K і через опори γ'_B та R_K . Оскільки γ'_B великий, то струм через нього незначний. На низьких частотах реактивний опір ємності C_K також великий, і струм через ємність може не протікає. Але при збільшенні частоти опір ємності C_K зменшується, і все більше частка струму від джерела ΔI_E протікає через ємність. Для зменшення шунтової дії ємності треба зменшувати спір робочого кола $\gamma'_B + R_K$, щоб виконувалася умова

$$R_K + \gamma'_B \ll \frac{1}{\omega C_K}.$$

У граничному випадку вважаємо, що $R_K = 0$, і тоді

$$\gamma'_B \ll \frac{1}{\omega C_K} \quad \text{або} \quad \gamma'_B C_K \ll \frac{1}{\omega}. \quad /3.93/$$

З формули /3.93/ видно, що чим менший добуток $\gamma'_B C_K$, тим на більш високих частотах може працювати БТ. Тому величина $\gamma'_B C_K$ є важливим частотним параметром транзистора і подається в довідниках.

3.3.5. Робота біполярного транзистора у ключовому режимі

Дуже поширеними в електроніці є імпульсні схеми, в яких транзистор працює в ключовому /імпульсному/ режимі. В цьому режимі на входний електрод ЕТ подається імпульсна непруга /струм/ великої амплітуди, і тоді транзистор працює як комутатор, що має два граничні положення - замкнute /режим насиження/ і розімкнute /режим відсічки/.

Розглянемо нормальну розімкнений електронний ключ на БТ, схему якого показано на рис. 3.53. Цей ключ призначено для замикання і розмикнення кола навантаження за допомогою імпульсів, що надходять від генератора сигналів управління. Опір R_K вибирається з розрахунку, щоб вихідна невентажувальна прям

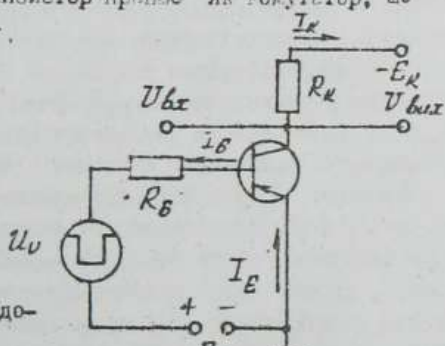


Рис. 3.53. Нормально розімкнений ключ на транзисторі

перетинела круту дільницю вихідних статичних характеристик /точка В на рис. 3.59/. Опір R_B в базовому колі управління звичайно значно більший за вхідний опір транзистора. Внаслідок цього струм у базовому колі практично не залежить від величини вхідного опору транзистора /спору ЕІ і розподіленого опору бази γ_B /, і з великою точністю можна вважати, що управління роботом ключа здійснюється за допомогою імпульсів струму бази.

При відсутності імпульсу управління під дієм джерела E_B транзистор перебуває у РВ, тобто у закритому стані, і робоча точка знаходитьться на динамічній характеристиці рис. 3.59 у положенні А. При цьому струм бази $I_B = -(I_{EB0} + I_{KB0}) \approx -I_{KB0}$, струм колектора $I_K = I_{KB0}$, напруга на колекторі

$$U_{KE} = E_K - I_{KB0}R_K \approx E_K.$$

Коло напантаєння розірване, тому в такому стані довільний вхідний сигнал U_{bx} може без спотворення і послаблення пройти на вихід схеми, тобто транзистор не шунтує /не заскорочує/ цей сигнал на корпус.

Розподіл концентрації дірок у

базі БТ в цьому режимі показано на рис. 3.60, а кривою для моменту t_0 . Концентрація неосновних носіїв у базі мала, опір бази і всього БТ великий.

В момент t_1 в базу БТ подається негативний імпульс струму /рис. 3.61/, ЕІ включається в пряму напрямі, і дірки з емітера інжектуються до бази. БТ переходить до активного режиму роботи, робоча точка рухається вздовг навантажувальної прямої від т.А до т.В, наблизючись до області режиму насищення /РН/. Струм бази в момент t_1 різко зростає до значення

I_{Bmax} , і концентрація дірок у базі біля ЕІ збільшується. Але струм колектора починає змінюватися лише через деякий час задержки, який потрібно затратити діркам, щоб подолати відстань між емітером і колектором. Через певний час дифундуючі до колек-

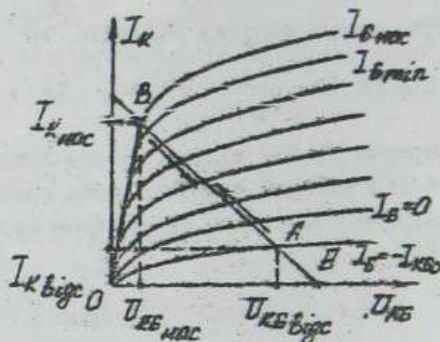


Рис. 3.59. Переміщення робочої точки в ключовому /імпульсному/ режимі транзистора

тоді дірки заповнюють базу, градієнт їх концентрації біля КП збільшується, і струм колектора зростає /крива t_1 на рис. 3.60, а/. В момент t_3 транзистор наближається до РН, розподіл

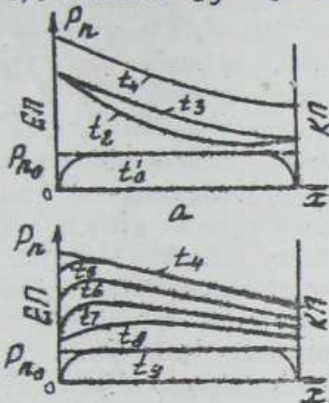


Рис. 3.60. Розподіл концентрації дірок у базі БТ в ключовому режимі

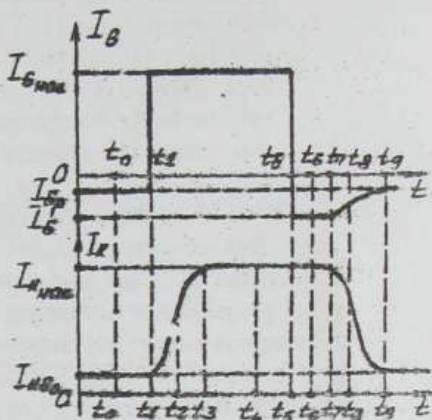


Рис. 3.61. Часові діаграми струмів БТ в ключовому режимі

концентрації дірок у базі стає лінійним, наростання струму колектора I_K сповільнюється /рис. 3.60, б, крива t_3 , рис. 3.61/. Робоча точка транзистора переходить до точки В на навантажувальній прямій. Ця точка відповідає напрузі $|U_{KE}| < |U_{BE}|$ ($U_{KE} \ll E_k$) і струму $I_{K_{нас}} = (E_k - U_{KE})/R_k \approx E_k/R_k$. Напруга на КП

$U_{KB} = U_{KE_{нас}} - U_{BE} > 0$, і КП включється в прямому напрямі. Починається інтенсивна інжеція дірок з колектора до бази, і їх концентрація біля КП зростає, стає більшою, ніж рівноважна /рис. 3.60, крива t_4 /. Градієнт дірок у базі в РН залишається постійним, і струм колектора більш не наростає /рис. 3.61/.

В момент t_5 імпульс управління в базі БТ закінчується, і прилад поступово повертається до свого початкового стану. Починається процес розсмоктування дірок у базі за рахунок їх екстракції до областей емітера і колектора. Зміна значення градієнта концентрації біля ЕІ /крива t_5 на рис. 3.60/ і переход дірок до області емітера викликають зміну напряму струму бази, який досягає значення I_b' /рис. 3.61/. За час

розсмоктування неосновних носіїв /від моменту t_5 до моменту t_7 / концентрація дірок у базі біля ЕП та КП зменшується таким чином, що градієнт Іх концентрації залишається постійним /криві t_6 і t_7 на рис. 3.60,б/, і тому струми I_B та I_K не змінюються. Після того як концентрація дірок у базі біля КП і ЕП дасягає рівноважного значення / ρ_{n0} /, градієнти Іх концентрації починають зменшуватись, і це викликає зменшення струмів бази і колектора до початкових значень

$I_{B0} = -I_{K0}$ та $I_K = I_{B0}$, характерних для РВ.

На тривалість переднього і заднього фронтів вихідного імпульсу струму /рис. 3.61/ суттєво впливають частотні властивості БТ. Чим вища гранична частота транзистора, тим вище його швидкодія в ключовому режимі. Крім того, швидкодія ЕТ в режимі переключення збільшується при збільшенні коефіцієнта передачі струму h_{24E} /або збільшенні амплітуди імпульсу струму бази – імпульсу управління/. З метою підвищення граничної частоти транзистори виконують з малими емностями переходів, а також оскільки на швидкість розсмоктування впливає не лише екстракція, але й рекомбінація, зменшують середню тривалість життя неосновних носіїв шляхом введення до бази домішок, прискорюючих рекомбінацію /наприклад, золото у кремнієвих БТ/.

3.4. ДЕЯНІ РІЗНОЕДИ БІПОЛЯРНИХ ТРАНЗИСТОРІВ

3.4.1. Одноперехідний транзистор

Одноперехідний транзистор, або двобазовий діод /рис. 3.62/, – це біполярний прилад, що працює в режимі переключення. І-н – перехід, що відокремлює високолеговану область емітера від низколегованої базової області, розділено останню на дві частини: нижню базу з довжиною l_1 і верхню базу з довжиною l_2 . Струм емітера, при прямому включені цього перехіду містить здебільшого

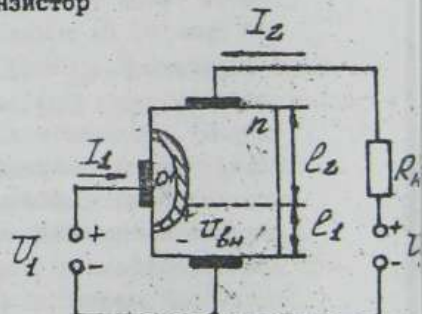


Рис. 3.62. Будова одноперехідного транзистора

лише діркову складову, і тому перехід називається інжектором. Принцип дії приладу ґрунтуються на зміні об'ємного опору бази під час інжекції.

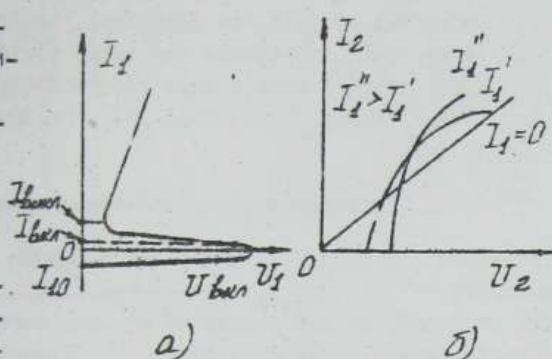
На омічні контакти верхньої і нижньої баз подається напруга, що викликає протікання через прилад струму I_2 .

Цей струм створює на опорі нижньої бази падіння напроти U_0 , яке вкливає $p-n$ -перехід в зворотному напрямі. Через зас-

ритий перехід тече його зворотний струм I_{10} /рис. 3.62.в/. При прикладенні до входу транзистора напруги $U_1 < U_{\text{бн}}$ перехід не відкривається, і малий струм I_{10} зелимається практично незмінним. Транзистор перебуває в закритому стані. При

$U_1 > U_{\text{бн}}$ перехід включається прямо, і починається ін'єкція дірок до баз, внаслідок чого їх концентрації зменшуються. Це приводить до зменшення падіння напруги $U_{\text{бн}}$, подальшого відкриття переходу, збільшення струму I_1 , подальшого зменшення опорів без і т.д. Починається лавинний процес переключення транзистора, що супровождається збільшенням емітерного струму I_1 і зменшенням падіння напруги між емітером і нижньою базою / U_1 /. Це вхідний статичний характеристики виникає ділянка з негативним диференціальним опором /рис.3.63,а/. Енаслідок процесу переключення транзистор переходить до відкритого стану. В цьому стані прилад перебуває доти, поки ін'єкція дірок через перехід буде підтримувати в базі надлишкову концентрацію носіїв, тобто поки струм I_1 буде більшим за величину $I_{1\text{ викл}}$ /рис. 3.63,а/.

На рис. 3.63,б показано вихідні характеристики стабі-



Ру 3. Вхідна /а/ і вихід-
на /б/ статичні ха-
рактеристики однопе-
рехідного транзистора

рехідного транзистора $I_2 = f(U_2) \Big|_{I_1=\text{const}}$. При $I_1 = 0$ вихідна характеристика лінійна, бо приклад поводить себе як звичайний резистор. При $I_1 > 0$ вихідні характеристики набирають не лінійного характеру, оскільки результатуюча напруга на переході змінюється при зміні вихідного струму I_2 .

Одноперехідні транзистори використовуються в різноманітних імпульсних схемах /генератори релаксаційних коливань, підсилювачі тощо/.

3.4.2. Високочастотні малопотужні транзистори

Як відомо з п. 3.3.4, частотний діапазон ЕТ має задовільнити римогу $\gamma'_B C_k \ll \frac{1}{\omega}$, з якої випливає, що для роботи на високих частотах ЕТ повинен мати малий розподілений опір бази γ'_B і малу бар'єрну емність КП C_k . При виготовленні високочастотних транзисторів сплавний спосіб не застосовується, оскільки він не дозволяє отримати вузьку базу /малий опір γ'_B / і малу площину переходів. Тому такі транзистори виготовляються за технологією дифузійногоуведення домішок. Глибина проникнення атомів домішок в напівпровідниковий кристал залежить від тривалості процесу дифузії та виду дифундуючих домішок. При цьому в кристалі створюється нерівномірний розподіл домішок від поверхні до глибини. Це сприяє збільшенню концентрації домішок у базі біля КП і, як наслідок, зменшенню γ'_B . Відносне зменшення концентрації домішок біля КП приводить до зменшення його бар'єрної емності за рахунок розширення переходу в бік бази, а також до збільшення пробивної напруги колектора.

Прикладом транзисторів, виготовлених за дифузійною технологією, є дримфові транзистори. В вузах цих транзисторів створюється експоненційний розподіл донорних домішок, що зменшується від емітера до колектора /рис. 3.64/. Енаслідок іонізації цих домішок у базі виникає так зване вбудоване електричне поле, спрямоване від емітера до колектора. Це поле збільшує швидкість руху дірок через базу. Завдяки цьому усувається суттєвий недолік сплавних транзисторів з точки зору частотних властивостей, тобто зменшується час прольоту дірок через базу. Емність КП в таких транзисторах мала, тому що він має велику товщину.

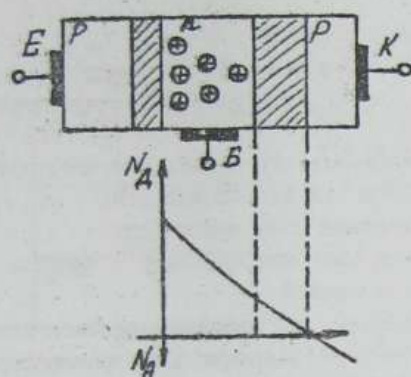


Рис. 3.64. Розподіл концентрації донорних домішок у базі дрейфового ЕТ

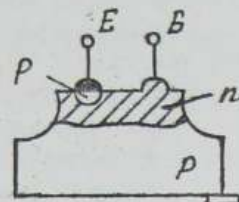


Рис. 3.65. Структура меза-транзистора

Існують також дифузійно-сплавні транзистори, в яких області колектора і бази виконують шляхом дифузії домішок, а ЕП – сплавленням домішок. Розподіл концентрації донорів у базі таких транзисторів подібний до розподілу домішок у базі дрейфового транзистора. Різновидністю таких транзисторів є меза-транзистори із столоподібною структурою /рис. 3.65/.

Поширеним сучасним способом виготовлення високочастотних транзисторів є так звана планарна технологія, котра розглядається докладно у курсі мікроелектроніки.

3.4.3. Потужні транзистори

Для потужних транзисторів / $P > 1,5 \text{ Pt}$ / характерне протікання через Іхні області великих струмів. Це приводить:

до зростання падіння напруги на $E\beta$, внаслідок чого напруга $U_{E\beta}$ буде лише частково прикладена до ЕП;

до того, що падіння напруги на ЕП виявляється нерівномірним, і це приводить до зростання густини емітерного струму біля краю емітера, в той час як середня частина емітера не працюватиме;

до зміни умов на відповідлючих контактах, що приводить

до перерозподілу носіїв заряду в базі;

до перерозподілу товщини КП з боку бази / $\delta_{КПБ}$ / і з боку колектора / $\delta_{КПК}$ / - $\delta_{КПБ} < \delta_{КПК}$, що порушує нормальну роботу транзистора;

до того, що з метою нормального підсилення потужності такі ЕТ необхідно розраховувати на більші напруги;

до необхідності збільшення площ переходів;

до необхідності ефективного тепловідводу з причини підвищення небезпеки теплового пробою.

При виготовленні потужних ЕТ використовується сплавна, дифузійно-сплавна /в так званих конверсійних транзисторах/, з також планарна технологія. Конфігурація емітера таких транзисторів ускладнюється. З метою збільшення струмів збільшують площу ПІ, а для того, щоб струм емітера не витіснявся до краю переходу, емітер виготовляють у формі кілець, смуг, зубців. Для забезпечення нормального тепловідводу використовуються радіатори, корпус з'єднується з колектором /в протилежність до малоспужних ЕТ, в яких корпус з'єднується з базою/.

Основним недоліком потужних високовольтних ЕТ є низький коефіцієнт передачі струму / $h_{21E} \leq 10$ /. Тому для одержання потужних ключових елементів застосовується складений транзистор /схема Дарлінгтона/ - рис. 3.66. Для такої транзисторної структури загальний коефіцієнт передачі струму бази

$$h_{21Ec} = h_{21E_1} \cdot h_{21E_2}.$$

/3.94/

Завдяки цьому можна одержати коефіцієнт передачі струму до сотні.

Потужні складені транзистори виготовляються на одному кристалі /рис. 3.67/.

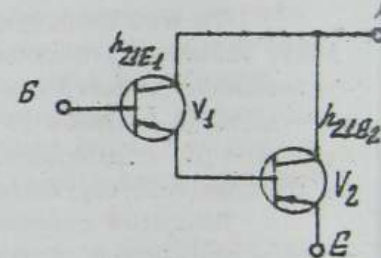


Рис. 3.66. Схема складеного транзистора

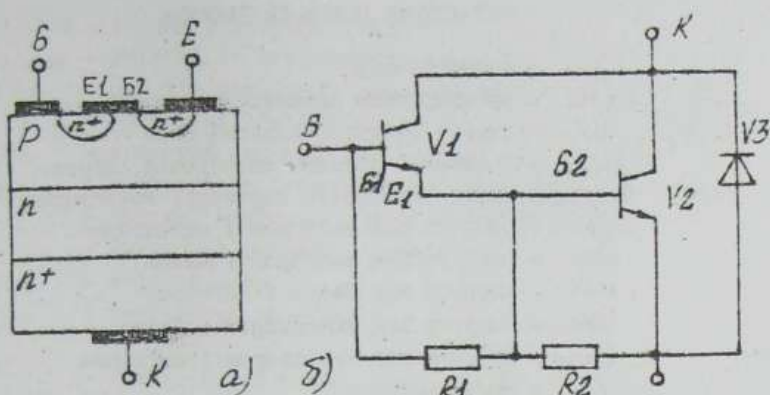


Рис. 3.67. Структура однокристального складного транзистора /а/ та його електрична схема /б/

ДОДАТОК

ПОЗНАЧЕННЯ ОСНОВНИХ ВЕЛИЧИН

p	- питомий спір
N_D, N_A	- концентрація донорів, акцепторів
w	- ширина активної області бази
L_n, L_p	- дифузійна довжина електронів, дірок
$\Delta E_p, \Delta n$	- площа емітерного переходу, колекторного переходу
U_{EK}	- напруга між емітером і колектором
U_{EB}	- напруга між емітером і базою
U_{BE}	- напруга між базою і емітером
U_{KB}	- напруга між колектором і базою
U_{KE}	- напруга між колектором і емітером
I_E	- струм емітера
I_B	- струм бази
I_K	- струм колектора
I_{Ebo}	- зворотний /тепловий/ струм емітера
I_{Kbo}	- зворотний /тепловий/ струм колектора
I_{EP}, I_{EN}	- діркова, електронна складова емітерного струму
φ_T	- температурний потенціал
γ	- коефіцієнт інжекції
P_{no}	- рівноважна концентрація дірок як неосновних носіїв у базі/
P_{BE}	- концентрація дірок у базі біля емітерного переходу
P_{BK}	- концентрація дірок у базі біля колекторного переходу
x	- координата активної області бази
I_{Kp}	- дірковий струм колектора
ξ	- коефіцієнт переносу носіїв через базу
I_{Kker}	- керована складова колекторного струму
M	- коефіцієнт множення носіїв у колекторному переході
h_{21B}	- статичний коефіцієнт передачі струму емітера в схемі зі спільною базою
h_{21E}	- статичний коефіцієнт передачі струму бази в схемі зі спільним емітером
U_{KBoff}	- напруга пробою на колекторному переході
I_{Brc}	- рекомбінаційна складова базового струму
I_{KEo}	- некерована складова колекторного струму в схемі зі спільним емітером
h_{21K}	- статичний коефіцієнт передачі струму бази в схемі зі спільним колектором

U_{bx}, U_{dx}	- вхідна і вихідна напруги	
I_{bx}, I_{dx}	- вхідний та вихідний струми	
U_{bk}	- напруга між базою і колектором	
T	- абсолютна температура	
R_T	- тепловий опір	
I_{kmax}	- максимальна потужність, що розсіюється колектором	
δ_{Ep}, δ_{Ck}	- товщини емітерного та колекторного переходів	
U_m, I_m	- амплітуда напруги, струму	
h_{11}	- вхідний опір	
h_{12}	- коефіцієнт зворотного зв'язку	
h_{21}	- коефіцієнт передачі струму	h - параметри транзистора
h_{22}	- вихідна провідність	
γ_E	- диференційний опір емітерного переходу	
γ_K	- диференційний опір колекторного переходу	
γ_B	- розподілений /об'ємний/ опір бази	
α	- диференційний коефіцієнт передачі струму емітера	
C_p	- ємність роздільного конденсатора	
E_E	- ЕРС емітерного джерела живлення	
E_K	- ЕРС колекторного джерела	
E_B	- ЕРС базового джерела	
I_L	- струм, що протікає через подільник напруги	
R_{bx}, R_{dx}	- вхідний та вихідний опіри каскаду	
K_U, K_E, K_P	- коефіцієнти підсилення напруги, струму, потужності	
R_T	- опір джерела вхідного сигналу	
R_H	- опір навантаження	
j	- уявна одиниця	
ω	- циклічна частота	
f_T	- частота зрізу транзистора	
C_x	- бар'єрна ємність колекторного переходу	
t	- час	
U_{bkl}	- напруга включення	
E	- напруженість електричного поля	
h_{4EC}	- коефіцієнт передачі струму складеного транзистора	
I_{bkl}, I_{dkl}	- струм включення, викидання	

СПИСОК СКОРОЧЕНЬ

А - активний режим

БІ	- біполярний транзистор
ВАХ	- вольт-амперна характеристика
ЕП	- емітерний перехід
ІР	- інверсний режим
НС	- колекторний перехід
НП	- напівпровідник
РЕ	- режим відсічки
РН	- режим насищення
ССЕ	- схема зі спільною базою
ССЕ	- схема зі спільним емітером
ССК	- схема зі спільним колектором

СЛІДОК. ЛІТЕРАТУРИ

1. Буличев А.Л. Электронные приборы.-М.: Воениздат, 1982.- 416 с.
2. Батулов В.А. Электронные приборы.-М.: Высшая школа, 1980.- 333 с.
3. Пасынков В.Е., Чиркин Л.К. Полупроводниковые приборы.-М.: Высшая школа, 1987.- 432 с.
4. Степанченко Г.П. Основы теории транзисторов и транзисторных схем.-М.: Энергия, 1977.- 672 с.
5. Тугов Н.М., Глебов Е.А., Чариков Н.А. Полупроводниковые приборы.-М.: Энергоатомиздат, 1990.- 576 с.
6. Лавриненко Е.Ю.: Справочник по полупроводниковым приборам.-Киев : Техніка, 1984.- 424 с.

ЗИСТ

Стр.

3. Біополярні транзистори	2
3.1. Будова та принцип дії біополярних транзисторів.....	
3.1.1. Загальні відомості про біополярні транзистори.....	
3.1.2. Способи підвищення й режими роботи біополярних транзисторів.....	7
3.1.3. Принцип дії біополярного транзистора в активному режимі.....	8
3.1.4. Вплив конструкції та режиму роботи транзистора на h_{22B}	12
3.1.5. Схеми використання транзистора зі спільним емітером та спільним колектором.....	14
3.1.6. Модель Еберса-Молла	16
3.2. Статичні характеристики і параметри біополярних транзисторів.....	18
3.2.1. Статичні характеристики біополярного транзистора у схемі зі спільною базою.....	19
3.2.2. Статичні характеристики біополярного транзистора у схемі зі спільним емітером.....	24
3.2.3. Статичні характеристики біополярного транзистора у схемі зі спільним колектором.....	28
3.2.4. Вплив температури на статичні характеристики транзисторів.....	29
3.2.5. Границі режими транзисторе.....	32
3.2.6. Диференціальні параметри біополярного транзистора.....	37
3.2.7. Фізичні параметри та еквівалентні схеми біополярного транзистора.....	40
3.3. Робота біополярного транзистора у динамічному режимі.....	44
3.3.1. Принцип дії підсилювального каскаду на біополярному транзисторі.....	

3.3.2. Способи забезпечення режиму спокою транзисторного каскаду.....	47
3.3.3. Динамічні характеристики біополярного транзистора та Іх використання.....	52
3.3.4. Частотні властивості біополярних трензисторів.....	57
3.3.5. Робота біополярного транзистора у ключовому режимі.....	61
3.4. Деякі різновиди біополярних транзисторів.....	64
3.4.1. Одноперехідний транзистор.....	-
3.4.2. Високочастотні маломощні транзистори.....	66
3.4.3. Потужні транзистори.....	67
Позначення основних величин /додаток/.....	70
Список скорочень.....	71
Список літератури.....	72

Навчальне видання

КОНСПЕКТ ЛЕКЦІЙ

З КУРСУ

"НАПІВПРОЕЦІЙКОВІ ПРИЛАДУ"

ЧАСТИНА ДРУГА

для студентів спеціальностей

20.05, 21.01 усіх форм навчання

Укладачі: Кобяков Олександр Миколайович
Борисенко Олексій Андрійович
Відповідальний за випуск О.А.Борисенко

План 1994 р., №з.123

Підп. до друку 15.09.94 Формат 60x84 I/16
Тираж 150 прим. Замовлення 1434

Обл.-вид. арк. 41
Безкоштовно

СумДУ, 244007, Суми, вул. Римського-Корсакова, 2

Краснопільська друкарня, смт. Краснопілля, вул. Гоцького, 1